

PONTE SULLO STRETTO DI MESSINA



PROGETTO DEFINITIVO

EUROLINK S.C.p.A.

IMPREGILO S.p.A. (MANDATARIA)
 SOCIETÀ ITALIANA PER CONDOTTE D'ACQUA S.p.A. (MANDANTE)
 COOPERATIVA MURATORI E CEMENTISTI - C.M.C. DI RAVENNA SOC. COOP. A.R.L. (MANDANTE)
 SACYR S.A.U. (MANDANTE)
 ISHIKAWAJIMA - HARIMA HEAVY INDUSTRIES CO. LTD (MANDANTE)
 A.C.I. S.C.P.A. - CONSORZIO STABILE (MANDANTE)

 <p>IL PROGETTISTA Dott. Ing. F. Colla Ordine Ingegneri Milano n°20355 Dott. Ing. E. Pagani Ordine Ingegneri Milano n°15408</p> 	<p>IL CONTRAENTE GENERALE</p> <p>Project Manager (Ing. P.P. Marcheselli)</p>	<p>STRETTO DI MESSINA Direttore Generale e RUP Validazione (Ing. G. Fiammenghi)</p>	<p>STRETTO DI MESSINA Amministratore Delegato (Dott. P. Ciucci)</p>
---	---	--	---

<i>Unità Funzionale</i>	COLLEGAMENTI CALABRIA	CS0460_F0
<i>Tipo di sistema</i>	INFRASTRUTTURE STRADALI OPERE CIVILI	
<i>Raggruppamento di opere/attività</i>	ELEMENTI DI CARATTERE GENERALE	
<i>Opera - tratto d'opera - parte d'opera</i>	VIADOTTO SOLARO	
<i>Titolo del documento</i>	SCHEDA RIASSUNTIVA DI RINTRACCIABILITÀ DELL'OPERA	

CODICE	C	G	0	7	0	0	P	S	H	D	C	S	C	0	0	V	I	D	8	0	0	0	0	0	1	F0
--------	---	---	---	---	---	---	---	---	---	---	---	---	---	---	---	---	---	---	---	---	---	---	---	---	---	----

REV	DATA	DESCRIZIONE	REDATTO	VERIFICATO	APPROVATO
F0	20/06/2011	EMISSIONE FINALE	R.CAFFARENA	G.SCIUTO	F.COLLA

		Ponte sullo Stretto di Messina PROGETTO DEFINITIVO		
SCHEDA RIASSUNTIVA DI RINTRACCIABILITÀ DELL'OPERA		<i>Codice documento</i> CS0460_F0	<i>Rev</i> F0	<i>Data</i> 20/06/2011

INDICE

INDICE	3
PREMESSA.....	4
1 RIFERIMENTI NORMATIVI	4
2 RIFERIMENTI BIBLIOGRAFICI	6
3 CARATTERISTICHE MATERIALI.....	9
3.1 Conglomerato cementizio	9
3.1.1 Conglomerato cementizio per sottofondazioni	9
3.1.2 Conglomerato cementizio per pali di fondazione.....	9
3.1.3 Conglomerato cementizio per fondazioni	9
3.1.4 Conglomerato cementizio per elevazioni	10
3.1.5 Conglomerato cementizio per soletta d'impalcato, cordoli e baggioli.....	10
3.1.6 Conglomerato cementizio per lastre tralicciate.....	10
3.2 Acciaio per cemento armato	11
3.3 Acciaio per carpenteria metallica tipo CORTEN	11
3.4 Collegamenti bullonati	12
3.5 Connettori a piolo	12
3.6 Saldature.....	12
4 DESCRIZIONE DELLA STRUTTURA.....	13
4.1 CARATTERISTICHE GEOMETRICHE E UBICAZIONE DELLA STRUTTURA.....	13
4.2 CARATTERIZZAZIONE GEOTECNICA DEL LUOGO.....	15
4.3 CARATTERIZZAZIONE IDROGEOLOGICA E IDRAULICA DEL LUOGO.....	45
4.4 CARATTERIZZAZIONE DELLA SISMICITA' DEL LUOGO	47
4.5 CARATTERISTICHE DEL SISTEMA DI VINCOLAMENTO E DEI GIUNTI.....	54
4.5.1 Appoggi relativi alle spalle	54
4.5.2 Appoggi relativi alle pile	54
5 FASI COSTRUTTIVE.....	56

		Ponte sullo Stretto di Messina PROGETTO DEFINITIVO		
SCHEDA RIASSUNTIVA DI RINTRACCIABILITÀ DELL'OPERA		<i>Codice documento</i> CS0460_F0	<i>Rev</i> F0	<i>Data</i> 20/06/2011

PREMESSA

La presente relazione riguarda il dimensionamento statico del ponte ubicato dalla PK. 2+267 alla PK. 2+457 denominato "Viadotto Solaro" (altezza max. trave 270 cm e luce 40+55+55+40 m), nell'ambito del progetto Definitivo per la realizzazione del "Ponte sullo Stretto di Messina".

1 RIFERIMENTI NORMATIVI

- [NT_1]. D.M. 14.01.2008 "Norme tecniche per le costruzioni (Gazzetta ufficiale 04/02/2008 n. 29)"
- [NT_2]. C.M. 02.02.2009 "Istruzioni per l'applicazione delle Nuove Norme tecniche per le costruzioni (Gazzetta ufficiale 04/02/2008 n. 29)"
- [NT_3]. UNI EN 1990: 2006 "Eurocodice 0 – Criteri generali di progettazione strutturale"
- [NT_4]. UNI EN 1991-1-1: 2004 "Eurocodice 1 – Azioni sulle strutture – Parte 1-1: Azioni in generale – Pesi per unità di volume, pesi propri e sovraccarichi per gli edifici"
- [NT_5]. UNI EN 1991-1-4: 2005 "Eurocodice 1 – Azioni sulle strutture – Parte 1-4: Azioni in generale – Azioni del vento"
- [NT_6]. UNI EN 1991-1-5: 2004 "Eurocodice 1 – Azioni sulle strutture – Parte 1-5: Azioni in generale – Azioni termiche"
- [NT_7]. UNI EN 1991-2: 2005 "Eurocodice 1 – Azioni sulle strutture – Parte 2: Carichi da traffico sui ponti"
- [NT_8]. UNI EN 1992-1-1: 2005 "Eurocodice 2 – Progettazione delle strutture di calcestruzzo – Parte 1-1: Regole generali e regole per gli edifici"
- [NT_9]. UNI EN 1992-2: 2006 "Eurocodice 2 – Progettazione delle strutture di calcestruzzo – Parte 2: Ponti di calcestruzzo – Progettazione e dettagli costruttivi"
- [NT_10]. UNI EN 1993-1-5: 2007 "Eurocodice 3 – Progettazione delle strutture di acciaio – Parte 1-5: Elementi strutturali a lastra"
- [NT_11]. UNI EN 1993-1-9: 2005 "Eurocodice 3 – Progettazione delle strutture di acciaio – Parte 1-9: Fatica"
- [NT_12]. UNI EN 1993-2: 2007 "Eurocodice 3 – Progettazione delle strutture di acciaio – Parte 2: Ponti in acciaio"
- [NT_13]. UNI EN 1994-2: 2006 "Eurocodice 4 – Progettazione delle strutture composte acciaio-calcestruzzo – Parte 2: Regole generali e regole per i ponti"

		Ponte sullo Stretto di Messina PROGETTO DEFINITIVO		
SCHEDA RIASSUNTIVA DI RINTRACCIABILITÀ DELL'OPERA		<i>Codice documento</i> CS0460_F0	<i>Rev</i> F0	<i>Data</i> 20/06/2011

- [NT_14]. UNI EN 1997-1: 2005 “Eurocodice 7 – Progettazione geotecnica – Parte 1: Regole generali”
- [NT_15]. UNI EN 1998-1: 2005 “Eurocodice 8 – Progettazione delle strutture per la resistenza sismica – Parte 1: Regole generali, azioni sismiche e regole per gli edifici”
- [NT_16]. UNI EN 1998-5: 2005 “Eurocodice 8 – Progettazione delle strutture per la resistenza sismica – Parte 5: Fondazioni, strutture di contenimento ed aspetti geotecnici”
- [NT_17]. UNI 11104-2004 “Calcestruzzo – Specificazione, prestazione, produzione e conformità – Istruzioni complementari per l’applicazione della EN 206-1”
- [NT_18]. UNI EN 197-1-2007 “Cemento: Parte 1 - Composizione, specificazioni e criteri di conformità per cementi comuni
- [NT_19]. UNI EN 206-1-2006 “Calcestruzzo. Specificazioni, prestazioni, produzione e conformità”
- [NT_20]. CNR DT 207: 2008 “Istruzioni per la valutazione delle azioni e degli effetti del vento sulle costruzioni”

		Ponte sullo Stretto di Messina PROGETTO DEFINITIVO		
SCHEDA RIASSUNTIVA DI RINTRACCIABILITÀ DELL'OPERA		Codice documento CS0460_F0	Rev F0	Data 20/06/2011

2 RIFERIMENTI BIBLIOGRAFICI

RIFERIMENTI PER CALCOLO STRUTTURALE

- [B1]. A.I.C.A.P. [2006] - "Guida all'uso dell'Eurocodice 2"
- [B2]. ANTONIO MIGLIACCI, FRANCO MOLA [2003] - "Progetto agli stati limite delle strutture in c.a."
- [B3]. CSI COMPUTER & STRUCTURE [2009] - "SAP 2000 user's manual"
- [B4]. C. CESTELLI GUIDI [1987] - "Cemento armato precompresso"
- [B5]. DAVID COLLINGS [2005] - "Steel-concrete composite bridge"
- [B6]. ERASMO VIOLA [1992] - "Scienza delle costruzioni"
- [B7]. INTERNETIONAL CENTRE FOR MECHANICAL SCIENCES [2003] - "Strutture composte: nuove costruzioni – recupero – ponti"
- [B8]. LUIGI SABBATELLA [1998] - "Il cemento armato: la tecnica e la statica"
- [B9]. MARIO PETRANGELI [1996] - "Progettazione e costruzione di ponti"
- [B10]. MARCELLO ARICI, ENZO SIVIERO [2005] - "Nuovi orientamenti per la progettazione di Ponti e Viadotti"
- [B11]. NIGEL R. HEWSON [2006] - "Prestressed concrete bridge: design and construction"
- [B12]. O. BELLUZZI [1996] - "Scienza delle costruzioni"
- [B13]. PAOLO RUGALI [2008] - "Calcolo di strutture in acciaio; guida all'Eurocodice 3"
- [B14]. P. POZZATI, C. CECCOLI [2000] - "Teoria e tecnica delle strutture"
- [B15]. R. WALTHER, B. HOURIET, W. ISLER, P. MOIA, J.F. KLEIN [2008] - "Cable stayed bridges"
- [B16]. WAI-FAH CHEN, LIAN DUAN [2000] - "Bridge engineering, substructure design"

RIFERIMENTI PER CALCOLO SISMICO

- [B17]. ANDRE' PREUMONT, KAZUTO SETO [2008] - "Active control of structures"
- [B18]. AMR S. ELNASHI, LUIGI DI SARNO [2008] - "Fundamental of earthquake engineering"
- [B19]. C. CASAROTTI, R. PINHO, G.M. CALVI [2006] - "Adaptive pushover-based methods for seismic assessment and design of bridge structure"
- [B20]. C.G. LAI, S. FOTI, M. ROTA [2009] - "Input sismico e stabilità geotecnica dei siti in costruzione"
- [B21]. D. PIETRA, G.M. CALVI, R. PINHO [2008] - "Displacement-based seismic design of isolated bridge"

		Ponte sullo Stretto di Messina PROGETTO DEFINITIVO		
SCHEDA RIASSUNTIVA DI RINTRACCIABILITÀ DELL'OPERA		Codice documento CS0460_F0	Rev F0	Data 20/06/2011

- [B22]. ERASMO VIOLA [2001] - "Fondamenti di dinamica e vibrazione delle strutture"
- [B23]. IUSS PRESS, rivista quadrimestrale - "Progettazione sismica"
- [B24]. M.J.N. PRIESTLEY, G.M. CALVI, M.J. KOWLASKY [2007] - "Displacement-based seismic design of structures"
- [B25]. P.E. PINTO, P. FRANCHIN, A. LUPOI [2009] - "Valutazione e consolidamento sismico dei ponti esistenti"
- [B26]. P.E. PINTO, R. GIANNINI, P. FRANCHIN [2004] - "seismic reliability analysis of structures"

RIFERIMENTI PER CALCOLO GEOTECNICO

- [B27]. ASSOCIAZIONE GEOTECNICA ITALIANA [1984] - "Raccomandazioni sui pali di fondazione"
- [B28]. BRINCH-HANSEN, J. [1961] - "A General Formula for Bearing Capacity" - The Danish Geotechnical Institute, Bull. n.11, Copenhagen.
- [B29]. BRINCH-HANSEN, J. [1970] - "A Revised and Extended Formula for Bearing Capacity" - The Danish Geotechnical Institute, Bull. n.28, Copenhagen.
- [B30]. BUSTAMANTE M. & DOIX B. (1985) - "Une méthode pour le calcul des tirants et des micropieux injectés" Bulletin Laboratoire Central des Ponts et Chaussées, n°140, nov.-déc., ref. 3047
- [B31]. BUSTAMANTE M., GIANESELLI L.. [1982] - "Pile bearing capacity prediction by means of static penetrometer CPT" -.Pr. of the 2th European symposium on penetration testing, Amsterdam.
- [B32]. BOWLES J.E. [1991] - "Fondazioni – Progetto e Analisi" - Editore McGraw-Hill
- [B33]. CARLO CESTELLI GUIDI [1987] - "Geotecnica e tecnica delle fondazioni"
- [B34]. DE BEER, E.E., LADANYI, B. [1961] - "Etude experimentale de la capacite portante du sable sous des fondations circulaires etablies en surface". 5th ICSMFE, Paris, 1, 577-581.
- [B35]. GROUP 7.0 for windows [2000] - Technical & User's manual – Ensoft Inc.
- [B36]. H.G. POULOS, E.H. DAVIS [2002] - "Analisi e progettazione di fondazioni su pali"
- [B37]. JAMIOLKOWSKI M. et al. [1983] - "Scale effects of ultimate pile capacity" - Discussion, JGED, ASCE.
- [B38]. LANCELLOTTA R. [1991] " Geotecnica" – Edizioni Zanichelli.
- [B39]. MEYERHOF, G.G. [1951] - "The Ultimate Bearing Capacity of Foundations" -

		Ponte sullo Stretto di Messina PROGETTO DEFINITIVO		
SCHEDA RIASSUNTIVA DI RINTRACCIABILITÀ DELL'OPERA		Codice documento CS0460_F0	Rev F0	Data 20/06/2011

Geotechnique, 2, 301-332.

- [B40]. MEYERHOF, G.G. [1951] - "Some recent research on the bearing capacity of foundations" - *Canadian Geotechnical Journal*, 1, 16-26
- [B41]. MEYERHOF G.G., SASTRY V.V.R.N. [1978] - "Bearing capacity of piles in layered soils. Part 1. Clay overlying sand" - *Canadian Geotechnical Journal*, 15, 171-182, 183-189.
- [B42]. REESE L.C., WRIGHT S.J. [1977] - "Drilled shaft manual" - U.S. Dept. Transportation, Offices of Research and Development, Implementation Div., HDV 2, Washington D.C., vol.1
- [B43]. REESE L.C., W.R.COX, F.D. KOOP [1974] - "Analysis of laterally loaded piles in sand" – Paper N° OCT 2080, Proceedings, Fifth Annual Offshore Technology Conference, Houston, Texas, 1975.
- [B44]. REESE L.C., W.R.COX, F.D. KOOP [1975] - "Field testing and analysis of laterally loaded piles in stiff clay" – Paper N° OCT 2313, Proceedings, Seventh Offshore Technology Conference, Houston, Texas, 1975.
- [B45]. REESE L.C., WELCH R.C. [1975] - "Lateral loading of deep foundations in stiff clay" – *Journal of the geotechnical Division, ASCE*, Vol. 101, No GT7, Proceedings Paper 11456, 1975, pp. 633 – 649.
- [B46]. SKEMPTON, A. W. [1951] - "The bearing capacity of clays" - *Building Research Congress, London*, 1, 180-189.
- [B47]. VESIC, A.S. [1970] - "Tests on instrumented Piles, Ogeechee River Site" - *JSMFD, ASCE*, V. 96, N. SM2, Proc. Paper 7170, March.
- [B48]. VESIC, A.S. [1973] - "Analysis of Ultimate Loads of Shallow Foundations". - *JSMFD, ASCE*, Jan., 45-73.
- [B49]. WELCH, R.C., REESE L.C. [1972] - "Laterally loaded Behavior of drilled shafts" – *Research Report N° 3-5-65-89, conducted for Texas Highway Department and U.S. Department of Transportation, Federal Highway Administration, Bureau of Public Roads, by Center for Highway Research, The University of Austin.*

		Ponte sullo Stretto di Messina PROGETTO DEFINITIVO		
SCHEDA RIASSUNTIVA DI RINTRACCIABILITÀ DELL'OPERA		<i>Codice documento</i> CS0460_F0	<i>Rev</i> F0	<i>Data</i> 20/06/2011

3 CARATTERISTICHE MATERIALI

3.1 Conglomerato cementizio

I conglomerati cementizi dovranno essere realizzati in accordo con le normative UNI 11104 e UNI EN 206-1; più in dettaglio ogni parte strutturale dovrà possedere le seguenti caratteristiche resistenti:

3.1.1 Conglomerato cementizio per sottofondazioni

Classe	C12/15
Resistenza caratteristica cubica	$f_{ck,cube} = 15 \text{ N/mm}^2$
Resistenza caratteristica cilindrica	$f_{ck,cyl} = 12 \text{ N/mm}^2$
Classe di esposizione	X0
Classe di consistenza	S4 / S5

3.1.2 Conglomerato cementizio per pali di fondazione

Classe	C25/30
Resistenza caratteristica cubica	$f_{ck,cube} = 30 \text{ N/mm}^2$
Resistenza caratteristica cilindrica	$f_{ck,cyl} = 25 \text{ N/mm}^2$
Resistenza di calcolo a compressione	$f_{cd} = \alpha_{cc} * f_{ck} / \gamma_c = 0,85 * f_{ck} / 1,5 = 14,167 \text{ N/mm}^2$
Resistenza a trazione media	$f_{ctm} = 0,30 * f_{ck}^{2/3} = 2,565 \text{ N/mm}^2$
Resistenza a trazione (frattile 5%)	$f_{ctk 0,05} = 0,7 * f_{ctm} = 1,795 \text{ N/mm}^2$
Resistenza a trazione di calcolo	$f_{ctd} = f_{ctk 0,05} / \gamma_c = 1,197 \text{ N/mm}^2$
Classe di esposizione	XC2
Classe di consistenza	S4-S5

3.1.3 Conglomerato cementizio per fondazioni

Classe	C25/30
Resistenza caratteristica cubica	$f_{ck,cube} = 30 \text{ N/mm}^2$
Resistenza caratteristica cilindrica	$f_{ck,cyl} = 25 \text{ N/mm}^2$
Resistenza di calcolo a compressione	$f_{cd} = \alpha_{cc} * f_{ck} / \gamma_c = 0,85 * f_{ck} / 1,5 = 14,167 \text{ N/mm}^2$

		Ponte sullo Stretto di Messina PROGETTO DEFINITIVO					
SCHEDA RIASSUNTIVA DI RINTRACCIABILITÀ DELL'OPERA		<i>Codice documento</i> CS0460_F0	<table border="1" style="width: 100%; border-collapse: collapse;"> <tr> <td style="width: 50%;"><i>Rev</i></td> <td style="width: 50%;"><i>Data</i></td> </tr> <tr> <td style="text-align: center;">F0</td> <td style="text-align: center;">20/06/2011</td> </tr> </table>	<i>Rev</i>	<i>Data</i>	F0	20/06/2011
<i>Rev</i>	<i>Data</i>						
F0	20/06/2011						

Resistenza a trazione media	$f_{ctm} = 0,30 * f_{ck}^{2/3}$	= 2,565 N/mm ²
Resistenza a trazione (frattile 5%)	$f_{ctk\ 0,05} = 0,7 * f_{ctm}$	= 1,795 N/mm ²
Resistenza a trazione di calcolo	$f_{ctd} = f_{ctk\ 0,05} / \gamma_c$	= 1,197 N/mm ²
Classe di esposizione	XC2	
Classe di consistenza	S4	

3.1.4 Conglomerato cementizio per elevazioni

Classe	C32/40	
Resistenza caratteristica cubica	$f_{ck,cube} = 40$	N/mm ²
Resistenza caratteristica cilindrica	$f_{ck,cyl} = 32$	N/mm ²
Resistenza di calcolo a compressione	$f_{cd} = \alpha_{cc} * f_{ck} / \gamma_c = 0,85 * f_{ck} / 1,5$	= 18,133 N/mm ²
Resistenza a trazione media	$f_{ctm} = 0,30 * f_{ck}^{2/3}$	= 3,024 N/mm ²
Resistenza a trazione (frattile 5%)	$f_{ctk\ 0,05} = 0,7 * f_{ctm}$	= 2,117 N/mm ²
Resistenza a trazione di calcolo	$f_{ctd} = f_{ctk\ 0,05} / \gamma_c$	= 1,411 N/mm ²
Classe di esposizione	XC4 – XS1– XF2	
Classe di consistenza	S4	

3.1.5 Conglomerato cementizio per soletta d'impalcato, cordoli e baggioli

Classe	C32/40	
Resistenza caratteristica cubica	$f_{ck,cube} = 40$	N/mm ²
Resistenza caratteristica cilindrica	$f_{ck,cyl} = 32$	N/mm ²
Resistenza di calcolo a compressione	$f_{cd} = \alpha_{cc} * f_{ck} / \gamma_c = 0,85 * f_{ck} / 1,5$	= 18,133 N/mm ²
Resistenza a trazione media	$f_{ctm} = 0,30 * f_{ck}^{2/3}$	= 3,024 N/mm ²
Resistenza a trazione (frattile 5%)	$f_{ctk\ 0,05} = 0,7 * f_{ctm}$	= 2,117 N/mm ²
Resistenza a trazione di calcolo	$f_{ctd} = f_{ctk\ 0,05} / \gamma_c$	= 1,411 N/mm ²
Classe di esposizione	XF4	
Classe di consistenza	S4	

3.1.6 Conglomerato cementizio per lastre tralicciate

Classe	C35/45	
Resistenza caratteristica cubica	$f_{ck,cube} = 45$	N/mm ²
Resistenza caratteristica cilindrica	$f_{ck,cyl} = 35$	N/mm ²

		Ponte sullo Stretto di Messina PROGETTO DEFINITIVO		
SCHEDA RIASSUNTIVA DI RINTRACCIABILITÀ DELL'OPERA		<i>Codice documento</i> CS0460_F0	<i>Rev</i> F0	<i>Data</i> 20/06/2011

Resistenza di calcolo a compressione	$f_{cd} = \alpha_{cc} * f_{ck} / \gamma_c = 0,85 * f_{ck} / 1,5 = 19,833 \text{ N/mm}^2$
Resistenza a trazione media	$f_{ctm} = 0,30 * f_{ck}^{2/3} = 3,210 \text{ N/mm}^2$
Resistenza a trazione (frattile 5%)	$f_{ctk 0,05} = 0,7 * f_{ctm} = 2,247 \text{ N/mm}^2$
Resistenza a trazione di calcolo	$f_{ctd} = f_{ctk 0,05} / \gamma_c = 1,498 \text{ N/mm}^2$
Classe di esposizione	XS1–XF2
Classe di consistenza	S4

3.2 Acciaio per cemento armato

Per le armature metalliche si adottano tondini in acciaio del tipo B450C controllato in stabilimento che presentano le seguenti caratteristiche:

Tensione di snervamento caratteristica	$f_{yk} \geq 450 \text{ N/mm}^2$
Tensione caratteristica a rottura	$f_{tk} \geq 540 \text{ N/mm}^2$
Resistenza di calcolo	$f_{yd} = f_{yk} / \gamma_s = 450 / 1,15 = 391,30 \text{ N/mm}^2$
Deformazione caratteristica al carico massimo	$\epsilon_{uk} = 7,5 \%$
Deformazione di progetto	$\epsilon_{ud} = 6,75 \%$

3.3 Acciaio per carpenteria metallica tipo CORTEN

In conformità con la norma UNI EN 10025:

- Elementi composti per saldatura:

spessori $t \leq 40 \text{ mm}$:

Tipo	S355J2G3
Soglia di snervamento	$f_{yk} \geq 355 \text{ N/mm}^2$
Tensione di rottura	$f_{tk} \geq 470\text{-}630 \text{ N/mm}^2$

spessori $t > 40 \text{ mm}$:

Tipo	S355K2G3
Soglia di snervamento	$f_{yk} \geq 315 \text{ N/mm}^2$
Tensione di rottura	$f_{tk} \geq 470\text{-}630 \text{ N/mm}^2$

- Elementi non saldati:

spessori $t \leq 16 \text{ mm}$:

Tipo	S355J0
Soglia di snervamento	$f_{yk} \geq 355 \text{ N/mm}^2$
Tensione di rottura	$f_{tk} \geq 470\text{-}630 \text{ N/mm}^2$

		Ponte sullo Stretto di Messina PROGETTO DEFINITIVO		
SCHEDA RIASSUNTIVA DI RINTRACCIABILITÀ DELL'OPERA		<i>Codice documento</i> CS0460_F0	<i>Rev</i> F0	<i>Data</i> 20/06/2011

spessori $16 < t \leq 40$ mm:

Tipo	S355J0
Soglia di snervamento	$f_{yk} \geq 315 \text{ N/mm}^2$
Tensione di rottura	$f_{tk} \geq 470\text{-}630 \text{ N/mm}^2$

3.4 Collegamenti bullonati

Giunzioni ad attrito da realizzarsi con bulloneria ad alta resistenza a serraggio controllato secondo UNI 3740 e UNI 20898 parte I e II:

- Viti classe 10.9 (UNI EN ISO 898-1:2001)
- Dadi classe 10 (UNI EN ISO 20898-2:1994)
- Rosette acciaio C50 EN10083 (HRC 32-40) (UNI EN ISO 10083-2:2006)

Le giunzioni bullonate ad attrito dovranno prevedere un coefficiente di attrito pari a 0,3 e coppie di serraggio secondo D.M. 14.01.2008.

I bulloni disposti verticalmente avranno la testa della vite verso l'alto ed il dado verso il basso ed avranno una rosetta sotto la vite ed una sotto il dado.

Fori per bulloni secondo D.M. 14/01/2008.

3.5 Connettori a piolo

In conformità con la norma UNI EN ISO 13918:

Acciaio tipo	ST 37-3K (S235J2G3+C450)
Soglia di snervamento	$f_{yk} \geq 350 \text{ N/mm}^2$
Tensione di rottura	$f_{tk} \geq 450 \text{ N/mm}^2$
Allungamento	$A \geq 15\%$
Strizione	$Z \geq 50\%$

3.6 Saldature

In conformità con il D.M. 14/01/2008.

Dove non diversamente specificato si prevedono saldature a cordone d'angolo di lato pari a 0.7 per lo spessore minimo da collegare se su entrambi i lati, e di lato pari allo spessore minimo da collegare se su un solo lato. Tutti i cordoni devono essere sigillati sul contorno. Per i giunti a piena penetrazione le lamiere dovranno essere preventivamente preparate con opportuno cianfrino.

		Ponte sullo Stretto di Messina PROGETTO DEFINITIVO		
SCHEDA RIASSUNTIVA DI RINTRACCIABILITÀ DELL'OPERA		<i>Codice documento</i> CS0460_F0	<i>Rev</i> F0	<i>Data</i> 20/06/2011

4 DESCRIZIONE DELLA STRUTTURA

4.1 CARATTERISTICHE GEOMETRICHE E UBICAZIONE DELLA STRUTTURA

La zona in cui è individuata l'opera esaminata nel presente documento, ricade all'incirca alla Latitudine di 38,212890 e Longitudine di 15,646679.



F1. Individuazione della zona in cui ricade l'opera

L'opera si sviluppa con andamento curvilineo per il primo tratto ($R=353$ m), per poi entrare in rettilineo, su un'unica via di corsa di larghezza massima $B = 9,30$ m (dei quali 6,5 m carrabili) e si presenta retto rispetto alla direzione di percorrenza della viabilità; l'angolo tra l'asse longitudinale del ponte e l'asse appoggi è pari a 90° . Da un punto di vista statico, la struttura è a 4 campate con luce di calcolo pari a $40+55+55+40$ m:

Campata	Lunghezza [m]
Spalla A – Pila 1	40,00
Pila 1 – Pila 2	55,00
Pila 2 – Pila 3	55,00
Pila 3 – Spalla B	40,00

		Ponte sullo Stretto di Messina PROGETTO DEFINITIVO		
SCHEDA RIASSUNTIVA DI RINTRACCIABILITÀ DELL'OPERA		<i>Codice documento</i> CS0460_F0	<i>Rev</i> F0	<i>Data</i> 20/06/2011

L'impalcato è realizzato mediante 2 travate metalliche continue con soletta in c.a. collaborante (prevista con il sistema costruttivo "a prédalles", armate con tralicci tipo Bausta o similari, autoportanti nei confronti del getto in opera della soletta) e traversi metallici. Le travi in acciaio hanno altezza costante lungo il loro sviluppo longitudinale e un interasse costante di 4,30 m. La larghezza delle piattabande superiori ed inferiori e lo spessore dei singoli elementi è costante lungo lo sviluppo della trave (vedi elaborati grafici) ad esclusione dei conci di pila, dove vengono aumentate le capacità resistenti, per supplire ai momenti negativi (sezione tipo 2 – prevista per una lunghezza di ± 10 m da asse pila):

	TIPO 1	TIPO 2
H trave (mm)	2700	2700
Piattabanda sup. (mm)	800x40	1100x60
Anima (mm)	28	28
Piattabanda inf. (mm)	1000x45	1100x60

Le travi in acciaio vengono prefabbricate in officina per conci di lunghezza massima 12,00 m, conci risultano trasportabili agevolmente senza oneri specifici.

La spalla è in c.a. con muro frontale, paraghiaia e muri andatori, con fondazione a forma di "C" che si intesta su 8 pali $\phi 1200$. La sezione trasversale della spalla è costituita dal muro frontale di spessore costante pari a 2,00 m, posto davanti al muro paraghiaia di spessore di 50 cm che si eleva fino a quota pavimentazione; i muri andatori hanno spessore costante pari a 150 cm.

Le spalle sono rette rispetto all'asse longitudinale del ponte, parallele all'asse appoggi.

Le pile sono in c.a. con sezione trasversale a cassone di dimensioni esterne pari a 2,5x7,5 m. L'elevazione ha altezza massima pari a 12,09 e si intesta sul plinto di fondazione di dimensione in pianta 8,00x10,00. Le fondazioni sono su 9 pali $\phi 1000$.

Le pile sono rette rispetto all'asse longitudinale del ponte, parallele all'asse appoggi.

Il sistema di vincolamento è realizzato mediante appoggi tipo VASOFLON, creando uno schema statico isostatico (in fase di esercizio) mediante carrelli e una cerniera. Saranno quindi predisposti:

- su spalla A = 1 appoggi multidirezionali + 1 appoggio unidirezionale longitudinale

		Ponte sullo Stretto di Messina PROGETTO DEFINITIVO		
SCHEDA RIASSUNTIVA DI RINTRACCIABILITÀ DELL'OPERA		<i>Codice documento</i> CS0460_F0	<i>Rev</i> F0	<i>Data</i> 20/06/2011

- su Pila 1= 1 appoggi multidirezionali + 1 appoggio unidirezionale longitudinale
- su Pila 2= 1 appoggio unidirezionale trasversali + 1 appoggio fisso
- su Pila 3= 1 appoggi multidirezionali + 1 appoggio unidirezionale longitudinale
- su spalla B = 1 appoggi multidirezionali + 1 appoggio unidirezionale longitudinale

Durante l'evento sismico, saranno invece disposti sulle pile shock-trasmitters, in modo tale che si riesca a ripartita l'azione sismica di progetto alle 3 elevazioni contemporaneamente, diminuendo quindi l'azione sulla singola elevazione.

Le spalle, dovendo rimanere sempre in campo elastico, saranno invece svincolate rispetto alle azioni longitudinali, riducendo sensibilmente le sollecitazioni interne alla struttura.

I dispositivi saranno progettati affinché resistano all'azione di progetto allo stato limite ultimo e risultino idonei:

- a trasmettere le forze conseguenti alle azioni sismiche;
- ad evitare sconnessioni tra gli elementi componenti il dispositivo di vincolo;
- ad evitare la fuoriuscita dei vincoli dalle loro sedi.

Sono presenti inoltre ritegni sismici di emergenza in direzione trasversale (realizzati in cemento armato), i quali non possono però essere considerati come dispositivi di ritenuta adatti a fenomeni ciclici perché durante un evento sismico sono elementi soggetti a fenomeni di martellamento.

Le azioni considerate nel calcolo sono quelle tipiche di una struttura da ponte, con applicazione della Normativa sui ponti stradali D. M. Min. II. TT. del 14 gennaio 2008 – Norme tecniche per le costruzioni.

4.2 CARATTERIZZAZIONE GEOTECNICA DEL LUOGO

Le fondazioni si attestano a una profondità media da p.c. di circa 5,0 m, ad esclusione della fondazione della Spalla B che si attesta a una profondità media da p.c. di circa 18,0 m.

La zona in cui ricade l'opera in oggetto presenta quindi una stratigrafia dove da intradosso fondazione la litologia è caratterizzata da "sabbie e ghiaie di Messina".

Più in dettaglio tale le litologie presentano le seguenti caratteristiche:

		Ponte sullo Stretto di Messina PROGETTO DEFINITIVO	
SCHEDA RIASSUNTIVA DI RINTRACCIABILITÀ DELL'OPERA		Codice documento CS0460_F0	Rev F0 Data 20/06/2011

GHIAIE E SABBIE DI MESSINA

γ (kN/m ³)	18÷20
N _{SPT} (colpi/30 cm)	70±25
c' piccolo (kPa)	0÷10
ϕ' piccolo (°)	38÷40 (p'ff=0-272KPa) / 35÷38 (p'ff=272-350KPa)
C _{cv} ' (kPa)	0
ϕ_{cv}' (°)	33÷35
k _o (-)	0.45-0.55
V _s (m/sec)	V _s =200+7·z (m/s)
G' _o (MPa)	$G_o = 1780 \cdot p_a \cdot \left(\frac{p'_o}{p_a}\right)^{0.65}$
E' (MPa)*	$E' = (17 \div 40) \cdot (z)^{0.7}$
v' (-)	0.2
G ₀ , G/G ₀	curve teoriche
D ₀ , D/D ₀	curve teoriche
K(m/s)	10 ⁻⁴ ÷10 ⁻⁵
v' (-)	0.2-0.3
K(m/s)	10 ⁻⁷

Simbologia:

γ_t = peso di volume naturale;

NSPT = resistenza penetrometrica dinamica in prova SPT;

ϕ' = angolo di attrito operativo;

c' = intercetta di coesione operativa;

ϕ_r' = angolo di attrito residuo;

c_r' = intercetta di coesione residua;

OCR = grado di sovraconsolidazione;

σ_{vo}' = pressione verticale efficace geostatica;

σ_{vmax}' = pressione verticale efficace massima subita dal deposito;

c_u = resistenza al taglio non drenata riferita a tensioni di consolidazione pari a quelle geostatiche e a condizioni di carico tipo quelle delle prove triassiali di compressione e carico;

k_o = coefficiente di spinta del terreno a riposo;

		Ponte sullo Stretto di Messina PROGETTO DEFINITIVO		
SCHEDA RIASSUNTIVA DI RINTRACCIABILITÀ DELL'OPERA		<i>Codice documento</i> CS0460_F0	<i>Rev</i> F0	<i>Data</i> 20/06/2011

k_v = coefficiente di permeabilità verticale riferito a pressioni di consolidazione pari a quelle geostatiche e a problemi di flusso diretto principalmente nella direzione verticale;

V_s = velocità di propagazione delle onde di taglio;

G_o = modulo di taglio iniziale riferito alle pressioni efficaci geostatiche;

E' = modulo di Young "operativo"; * = si considerano valori nel range per gallerie, fronti di scavo sostenuti, opere di sostegno tirantate o puntonate; valori al minimo del range per fondazioni dirette, fondazioni su pali e rilevati.

ν' (-) = coefficiente di Poisson

p_a = pressione atmosferica di riferimento, espressa in MPa

p'_0 = pressione efficace alla profondità z , espressa in MPa

Non è stata rinvenuta la falda nei sondaggi presenti in zona (sondaggio C416 con profondità 40 m da p.c.), pertanto nel proseguo della relazione si considererà assente la falda in quanto ininfluente nei dimensionamenti.

Per un maggior dettaglio della caratterizzazione geotecnica dei suoli si rimanda alla relazione generale CG0800PRBDCSBC8G000000001B.

Per un maggior dettaglio della stratigrafia di profilo si rimanda agli elaborati:

Profilo geologico-geotecnico 1:2000 CG0800 P F6 D C SB C6 ST 00 00 00 23 B

Profilo idrogeologico 1:2000 CG0800 P F6 D C SB C6 ST 00 00 00 24 B

Nel seguito si porta un estratto di dettaglio per la zona in esame.

Descrizione delle litologie prevalenti

Le litologie prevalenti sono costituite dalle formazioni dei Sabbie e Ghiaie di Messina, depositi alluvionali.

Le Sabbie e Ghiaie di Messina sono granulometricamente descritte come ghiaie e ciottoli da sub arrotondati ad appiattiti con matrice di sabbie grossolane.

Depositi alluvionali: si tratta prevalentemente di depositi sabbioso-ghiaiosi olocenici di fondo alveo.

L'incisione operata dai corsi d'acqua determina la diretta sovrapposizione di tali depositi sul

		Ponte sullo Stretto di Messina PROGETTO DEFINITIVO		
SCHEDA RIASSUNTIVA DI RINTRACCIABILITÀ DELL'OPERA		<i>Codice documento</i> CS0460_F0	<i>Rev</i> F0	<i>Data</i> 20/06/2011

substrato cristallino-metamorfico. Gli spessori massimi dedotti da affioramento e sondaggi non è superiore alla decina di metri.

La falda non risulta interferente con le opere.

La prova sismica nel sondaggio C417 fornisce una Vs30 di cat. B.

Indagini previste

Data l'esiguità dei sondaggi e delle prove localmente presenti (C417, SN13), si è scelto di tenere conto anche di altri sondaggi e prove disponibili.

Sabbie e Ghiaie di Messina

Si considerano i sondaggi della tratta relativa alla Rampa D_dec.

- prove SPT (C411, C414, C415, SN11, Svar1)
- 2 prove sismiche (C414, C415)
- 3 prove Le Franc (C411, C414, C415)
- Prove di laboratorio per la determinazione dei parametri fisici ed elle caratteristiche di resistenza (TD, sondaggio C410, Svar1)

Depositi alluvionali:

Si considerano i sondaggi della caratterizzazione generale.

- prove SPT (C434, CN451, C415, C430, C417, C203, C213BIS)
- 2 prove sismiche (C417, C430)
- Prove di laboratorio per la determinazione dei parametri fisici

Caratterizzazione geotecnica

Per i criteri e per gli aspetti generali di caratterizzazione si rimanda a quanto riportato nella relazione Elab. CG0800PRBDCSBC8G00000001A. Per la definizione delle categorie di suolo si rimanda al medesimo elaborato ed alla relazione sismica di riferimento.

Sabbie e Ghiaie di Messina

Per le caratteristiche fisiche da un analisi statistica delle caratteristiche granulometriche emerge, un andamento che conferma che le caratteristiche granulometriche dei materiali in esame sono tipiche di materiali sia di materiali a grana grossa (ghiaie 36%), sia di materiali intermedi (sabbie

		Ponte sullo Stretto di Messina PROGETTO DEFINITIVO		
SCHEDA RIASSUNTIVA DI RINTRACCIABILITÀ DELL'OPERA		<i>Codice documento</i> CS0460_F0	<i>Rev</i> F0	<i>Data</i> 20/06/2011

52%). Il contenuto di fino è mediamente del 11%.

Con riferimento al fuso medio si ha:

- Il valore di D_{50} è pari a 0.8mm
- Il valore di D_{60} è pari a 1.2 mm
- Il valore di D_{10} è pari a 0.025 mm

Il peso di volume dei grani medio γ_s è risultato pari a circa 26 kN/m³;

In base a dati di letteratura il valore di γ_{dmax} risulterebbe mediamente pari a circa 21 KN/m³ mentre γ_{dmin} mediamente pari a circa 16 KN/m³.

Per lo stato iniziale si ha:

- **Dr:** I valori di N_{spt} sono stati corretti con il fattore correttivo $C_{sg}=0.75$ corrispondente al $d_{50}=0.8$ mm.
- **e_o :** a partire dal d_{50} stimato si ottiene di $e_{max}-e_{min}$ pari a 0.31, non dissimile dai valori reperibili in letteratura ($0.17 < e_{max}-e_{min} < 0.29$) e da quanto misurato in laboratorio (SG10 DG42) con valore medio pari a 0.33. Stimando per e_{max} un valore pari a 0.7 a partire dai valori di Dr è stato possibile determinare i valori di e_o in sito.
- **γ_d :** in base a tali valori di e_o e da γ_s si può stimare γ_d .
- **K_0 :** si considera la relazione di Mesri (1989) per tenere conto degli effetti di "aging".

Z(m)	Dr(%) Prevalente sabbiosa	Dr(%) Sabbie e ghiaie	γ_d (KN/m ³)	K_0
0-15	0.8	-	18-20	0.40-0.45
>15	0.6-0.8	-	17-18	0.45-0.5

Per i parametri di resistenza al taglio in termini di sforzi efficaci sulla base delle prove SPT si è ottenuto un valore medio di angolo di attrito di 41°, per $z > 5$ m.

Z(m)	ϕ'_p (pff=0-272KPa) (°)	ϕ'_p (pff=272-350KPa) (°)	ϕ'_{cv} (°)

		Ponte sullo Stretto di Messina PROGETTO DEFINITIVO		
SCHEDA RIASSUNTIVA DI RINTRACCIABILITÀ DELL'OPERA		<i>Codice documento</i> CS0460_F0	<i>Rev</i> F0	<i>Data</i> 20/06/2011

0-15	40-42	37-39	
>15	39-41	36-38	33-35

Ai parametri di resistenza operativi al taglio in termini di sforzi efficaci si sono assegnati i seguenti valori operativi:

$c_p' = 0 \div 10$ kPa = coesione apparente

$\varphi_p' = 38 \div 40^\circ$ = angolo di resistenza al taglio

Per i valori di stato critico, in assenza di prove specifiche, in base ai dati di letteratura si possono definire i seguenti valori operativi.

$c_r' = 0$ kPa = coesione apparente

$\varphi_r' = 33^\circ \div 35^\circ$ = angolo di resistenza al taglio

Per le caratteristiche di deformabilità dalle prove sismiche in foro (C416, C417) si ottengono valori di G_0 che mostrano un andamento crescente con la profondità, da circa 100MPa a circa 500MPa a 40m di profondità.

Una stima con la profondità si rende difficoltosa per la dispersione di G_0 .

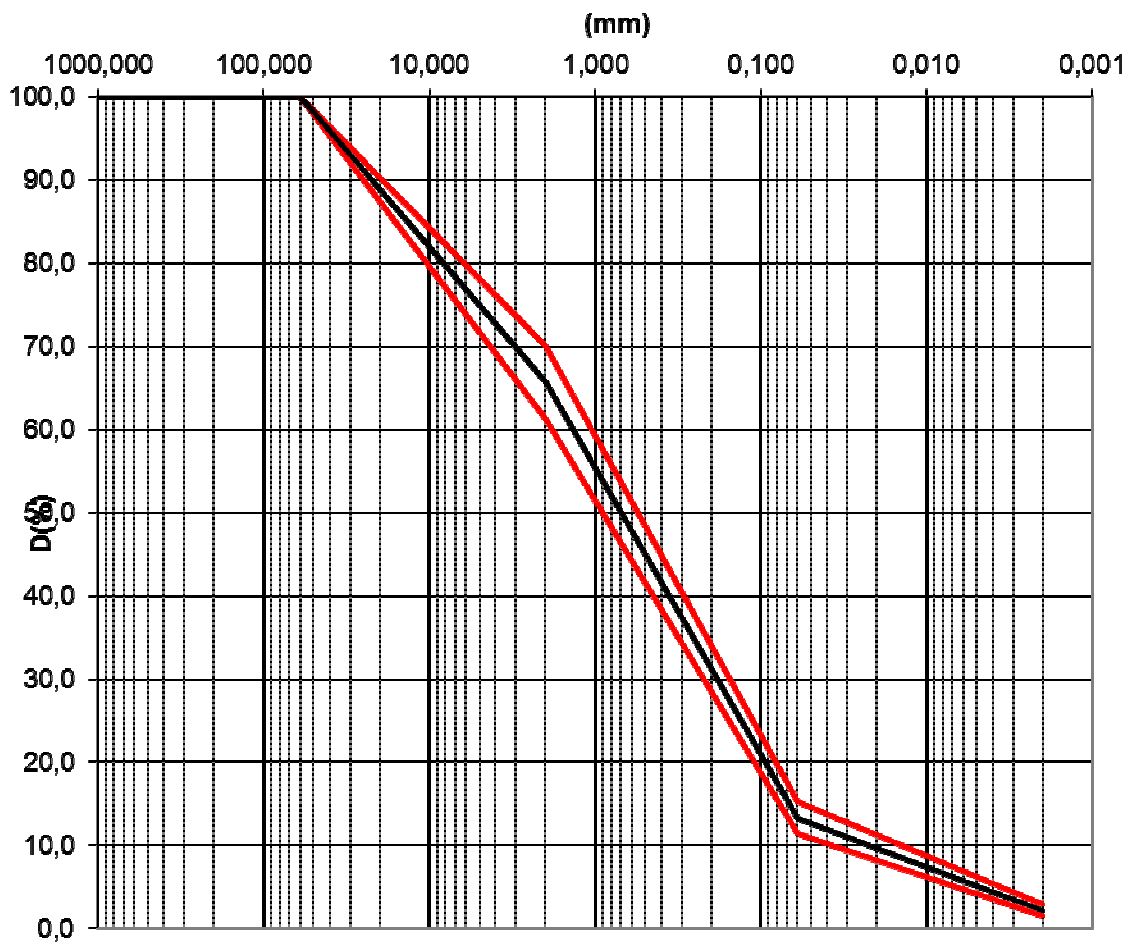
Tenendo conto delle prove SPT si ottiene una stima cautelativa:

z(m)	G0 (MPa)	E0 (MPa)	E' (MPa)
0-25	$60 z^{0.5}$	$144 z^{0.5}$	$(19-48) z^{0.5}$

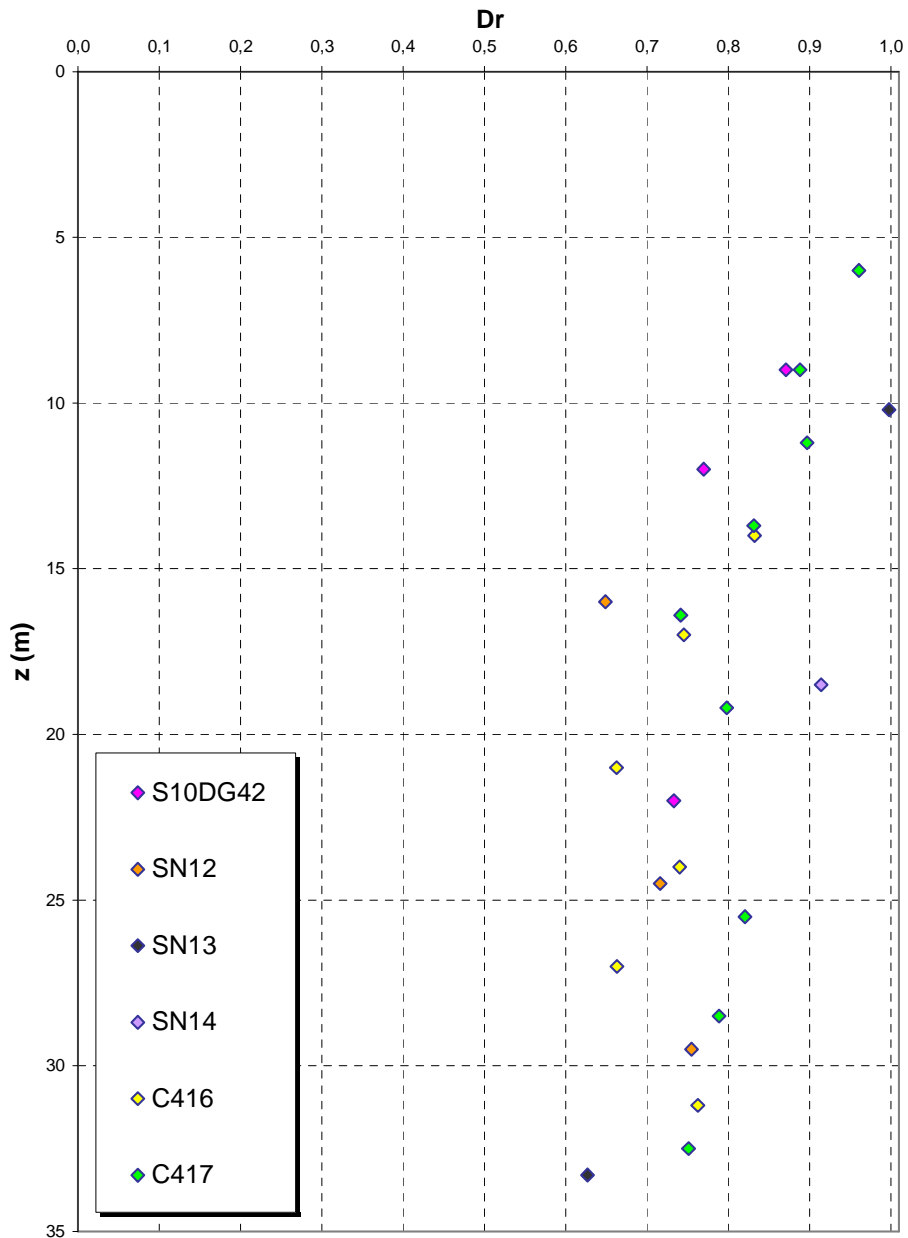
con E' pari rispettivamente a circa 1/5 ÷ 1/10 (medio-grandi deformazioni) ed a 1/3 di quelli iniziali (piccole deformazioni).

Le 4 prove pressiometriche forniscono invece valori variabili compresi fra 130 e 200 MPa fra 20 ed 35m di profondità.

Sabbie e ghiaie di Messina

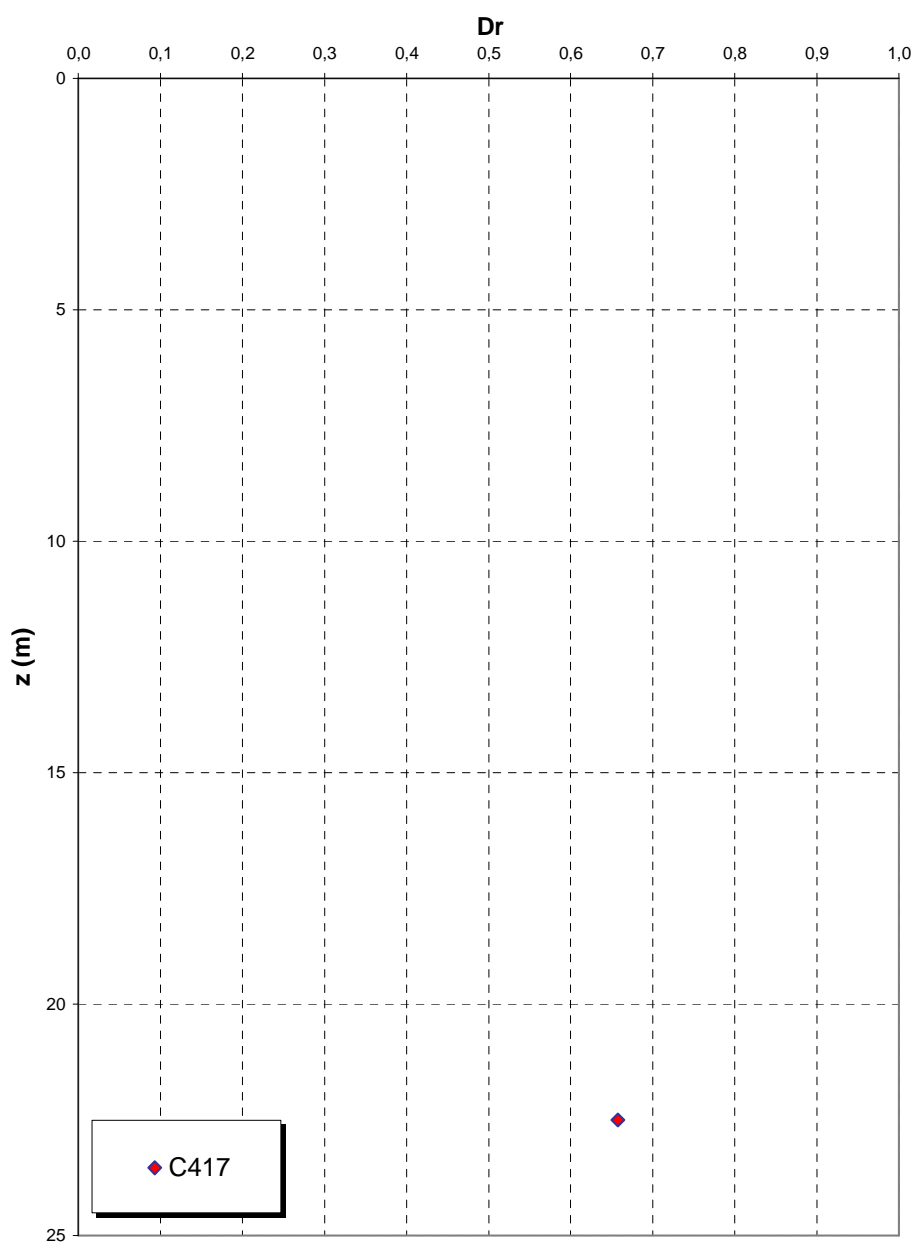


**Dr Skempton (1986)
Componente sabbiosa prevalente
SABBIE E GHIAIE DI MESSINA
- Rampa D_dec -**

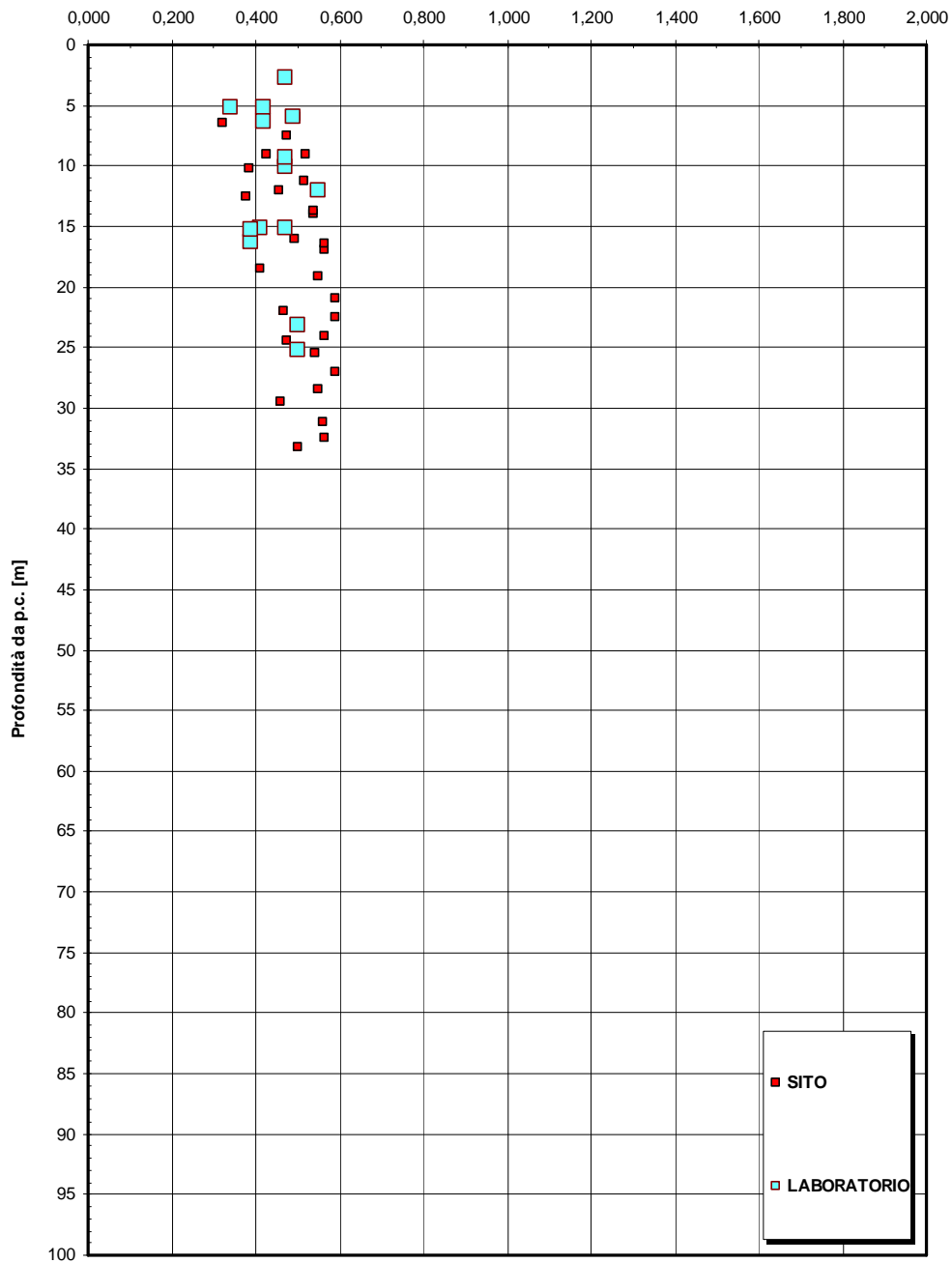


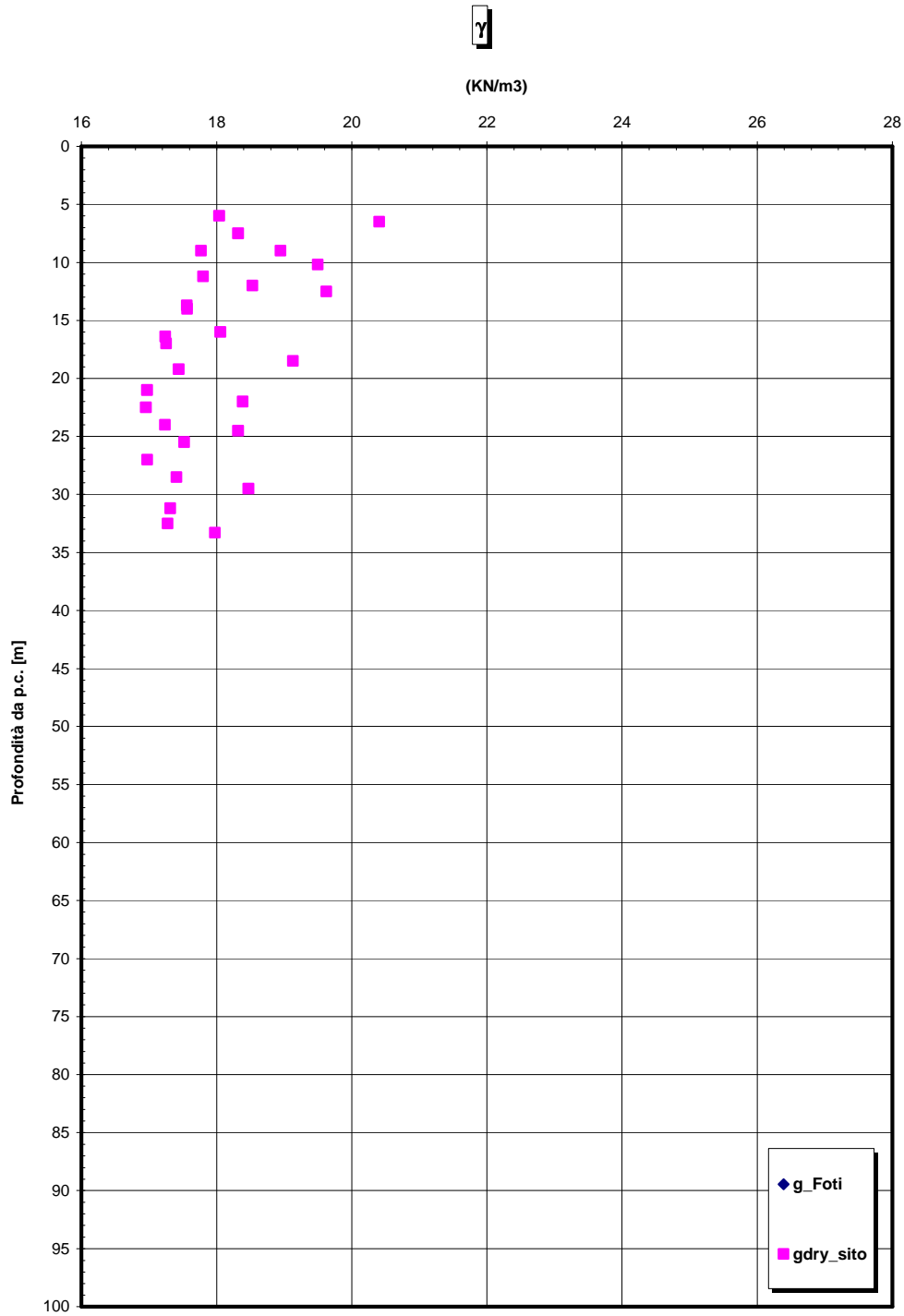
		Ponte sullo Stretto di Messina PROGETTO DEFINITIVO		
SCHEDA RIASSUNTIVA DI RINTRACCIABILITÀ DELL'OPERA		<i>Codice documento</i> CS0460_F0	<i>Rev</i> F0	<i>Data</i> 20/06/2011

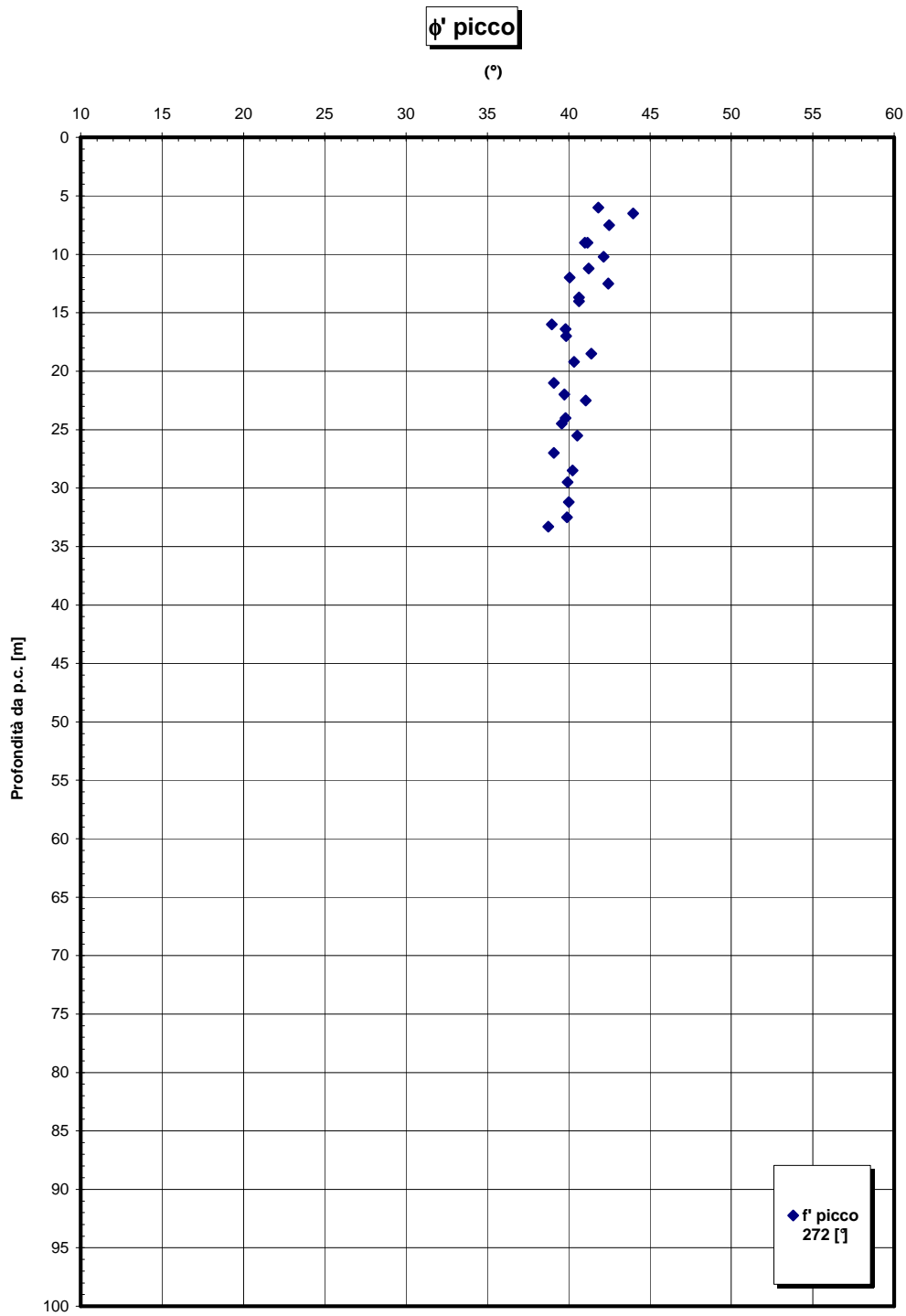
Dr Cubrinovski e Ishihahara (1999)
Componente ghiaiosa e sabbiosa
SABBIE E GHIAIE DI MESSINA

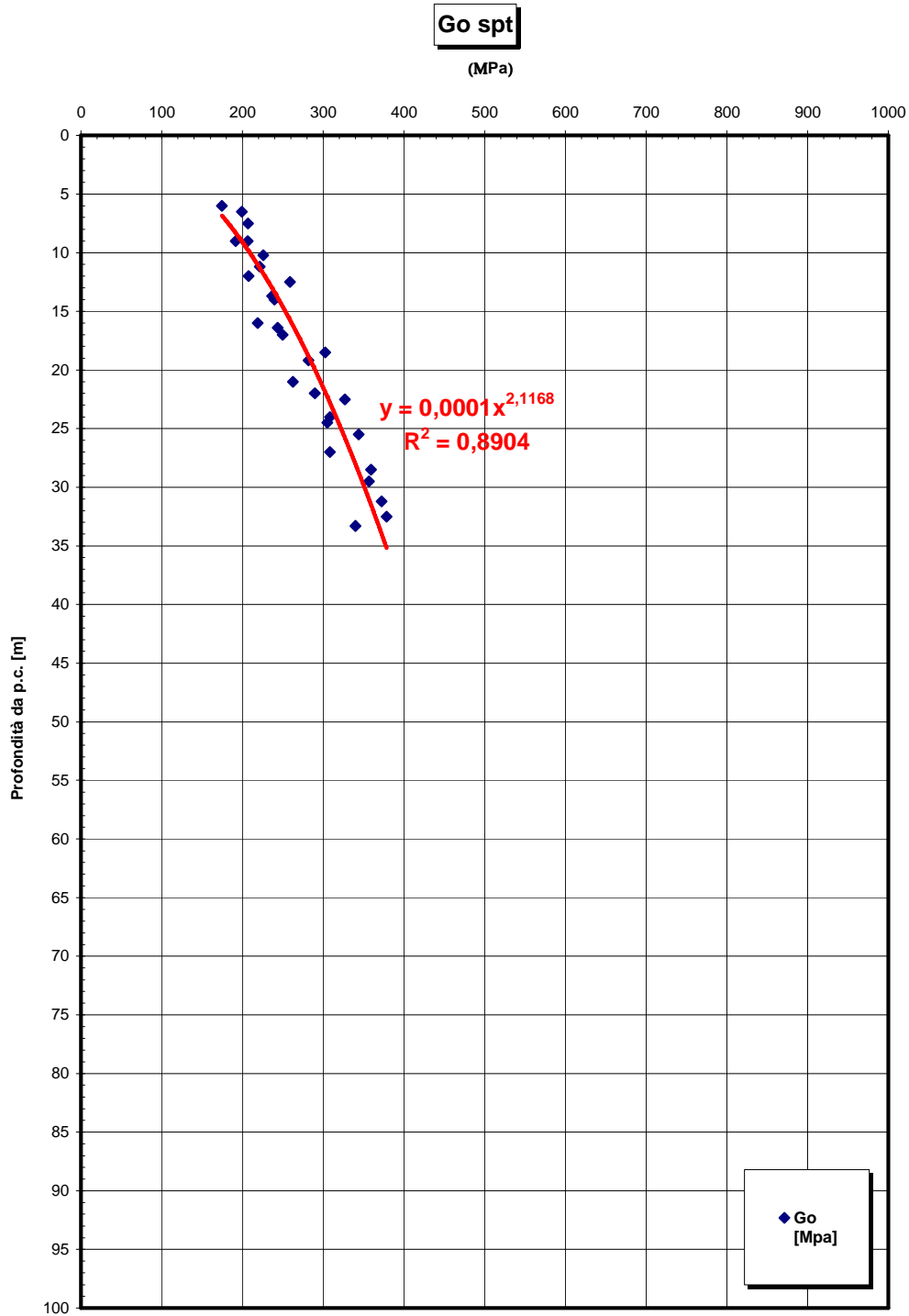


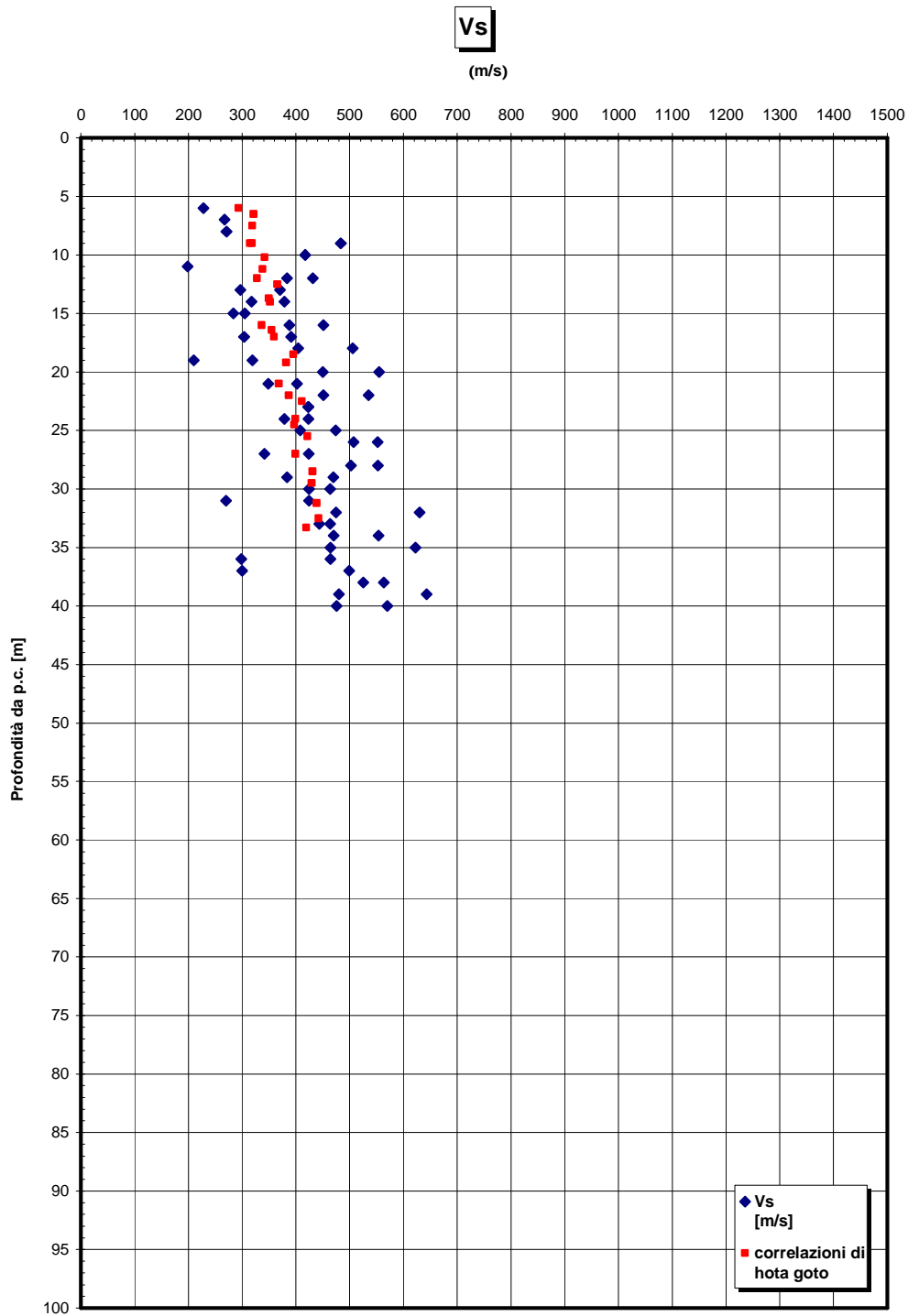
eo



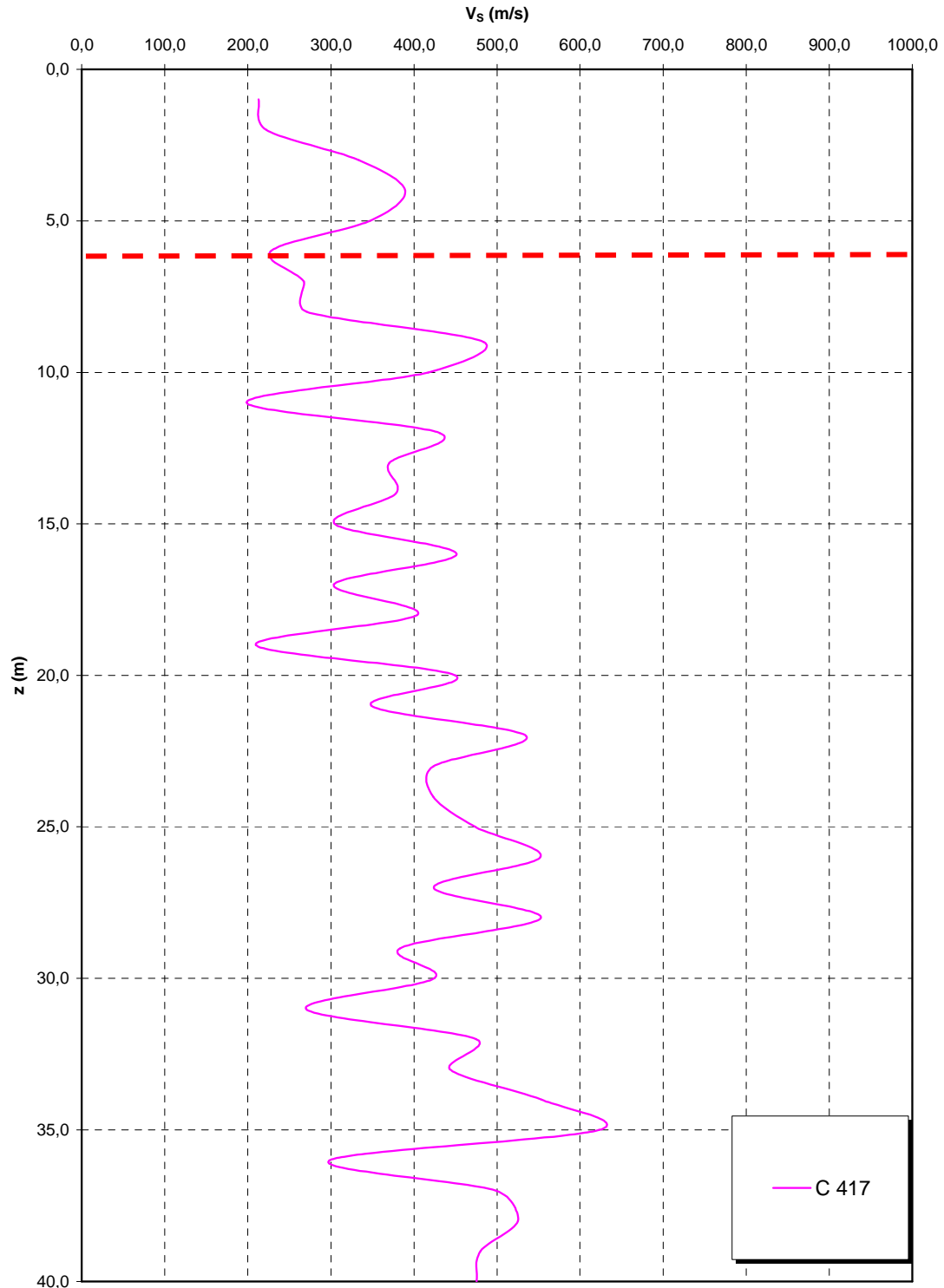




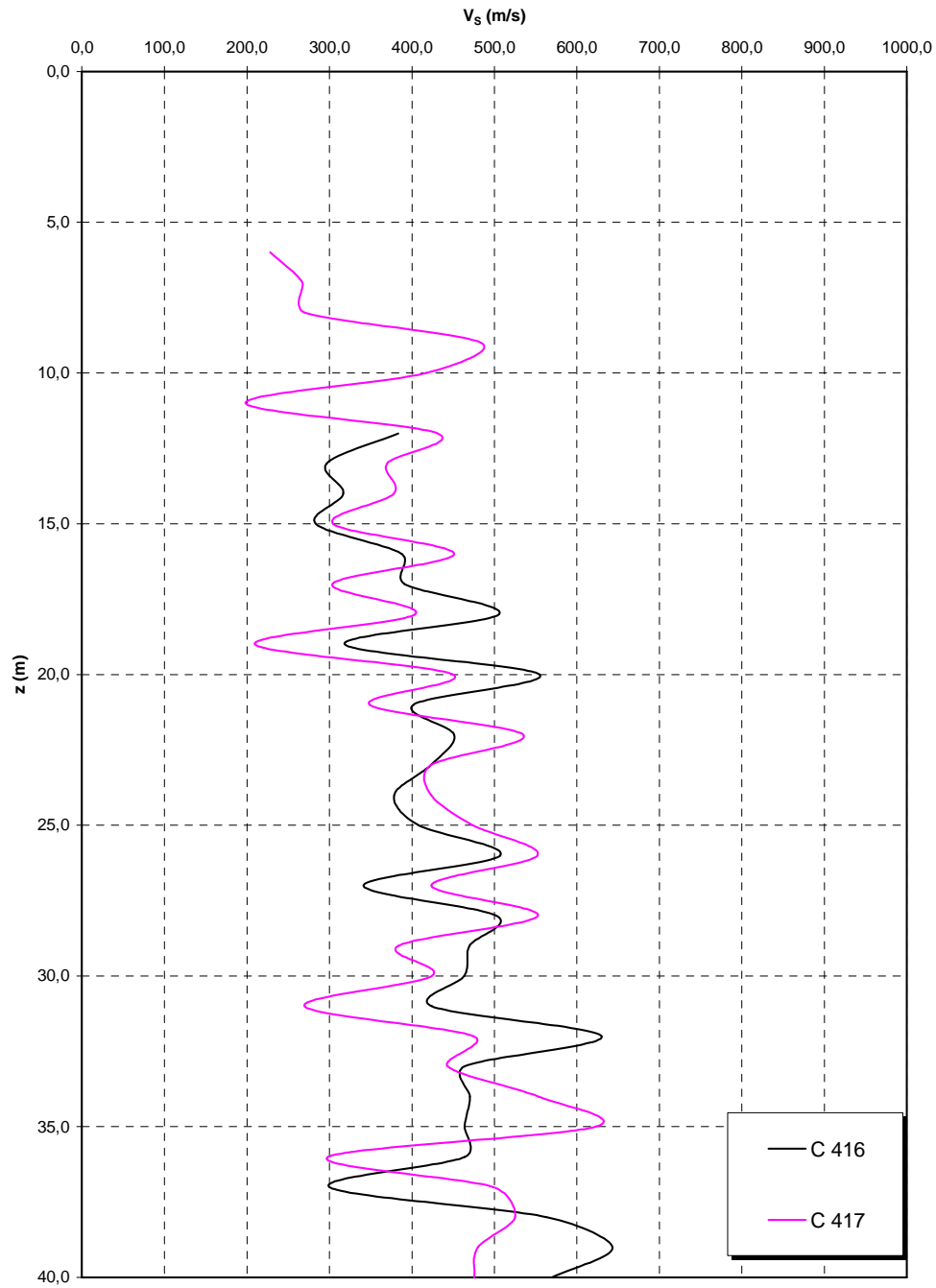


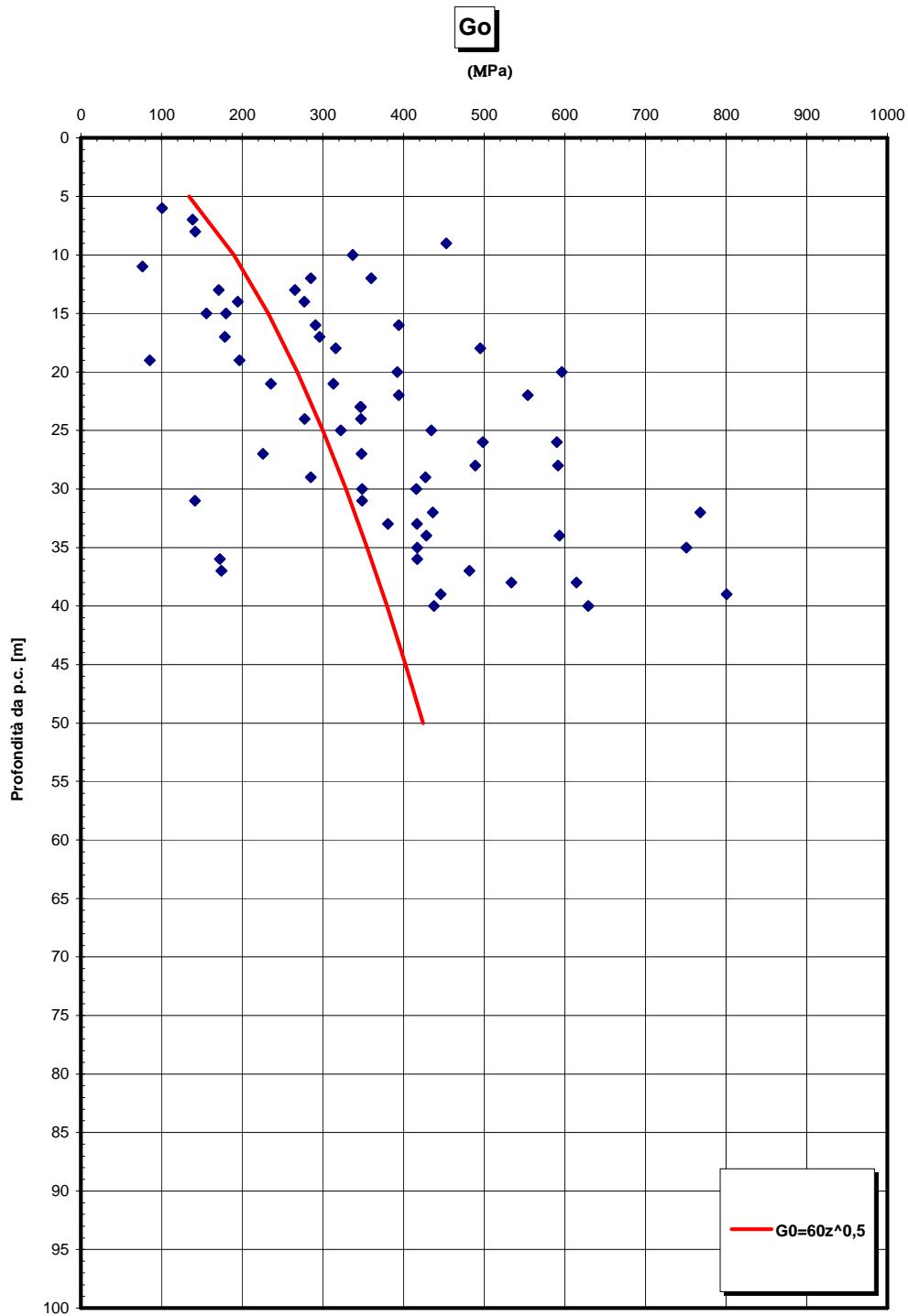


**Prove sismiche
SABBIE E GHIAIE DI MESSINA**

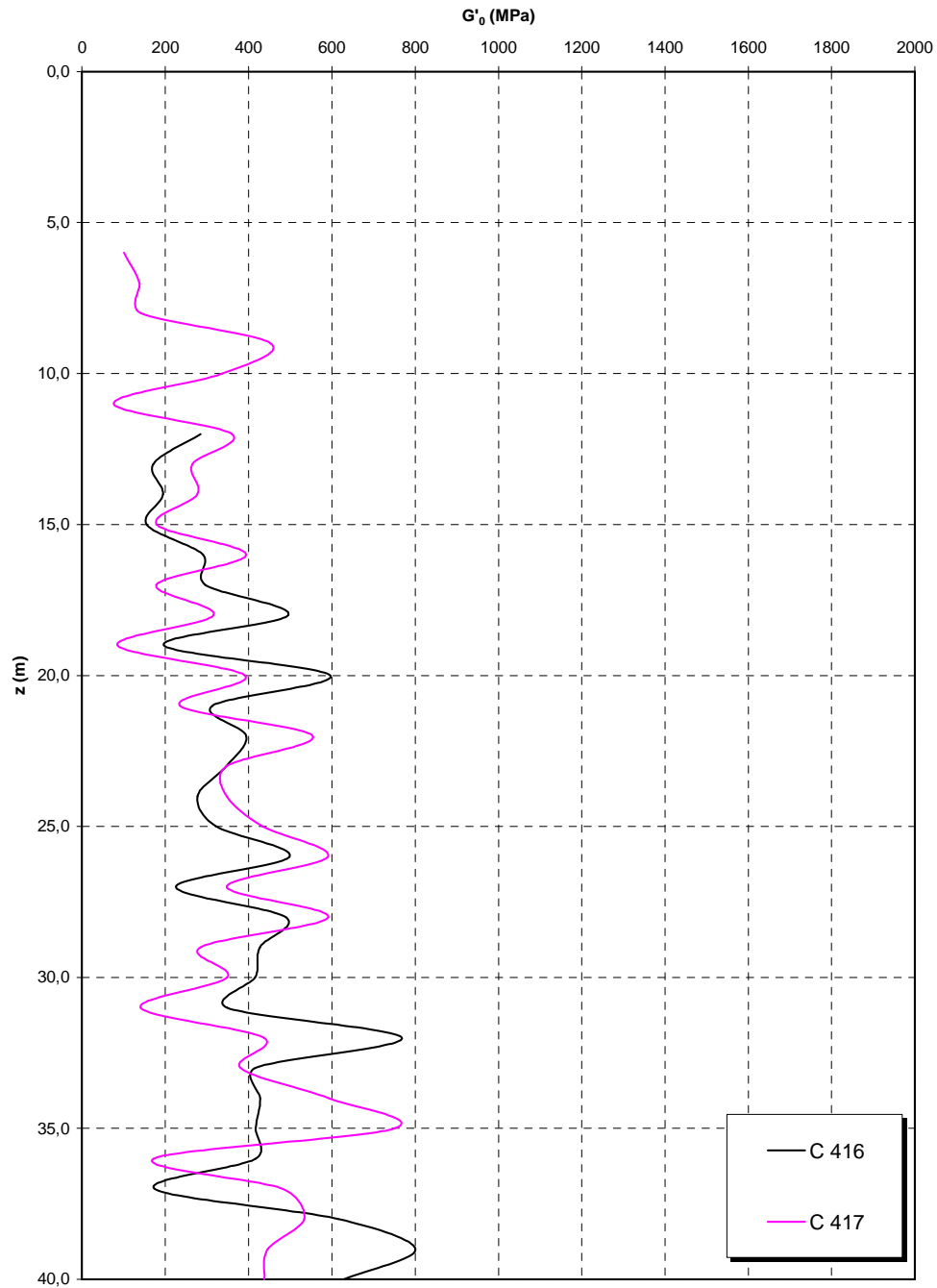


**Prove sismiche
SABBIE E GHIAIE DI MESSINA
Rampa D_dec**

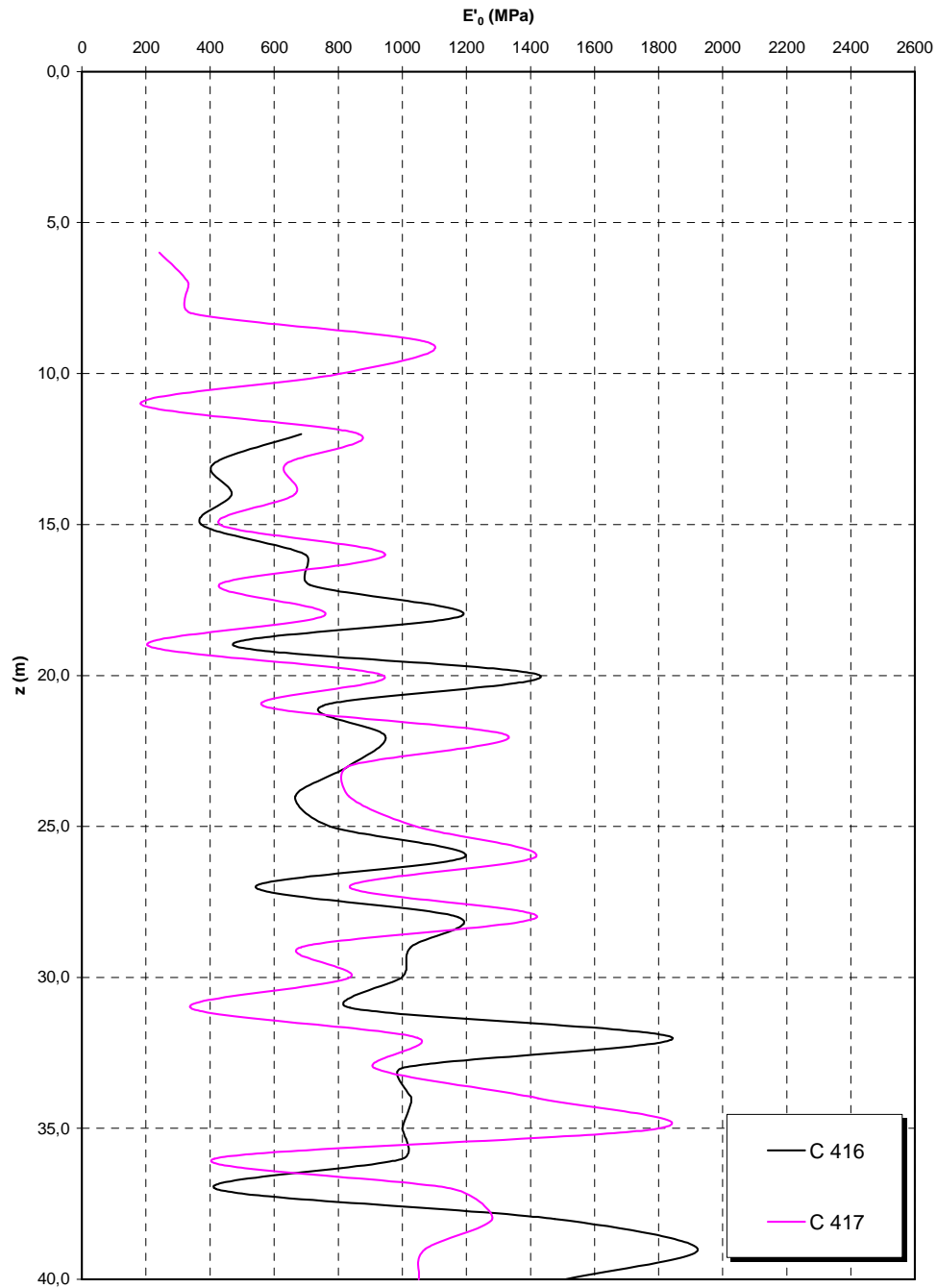




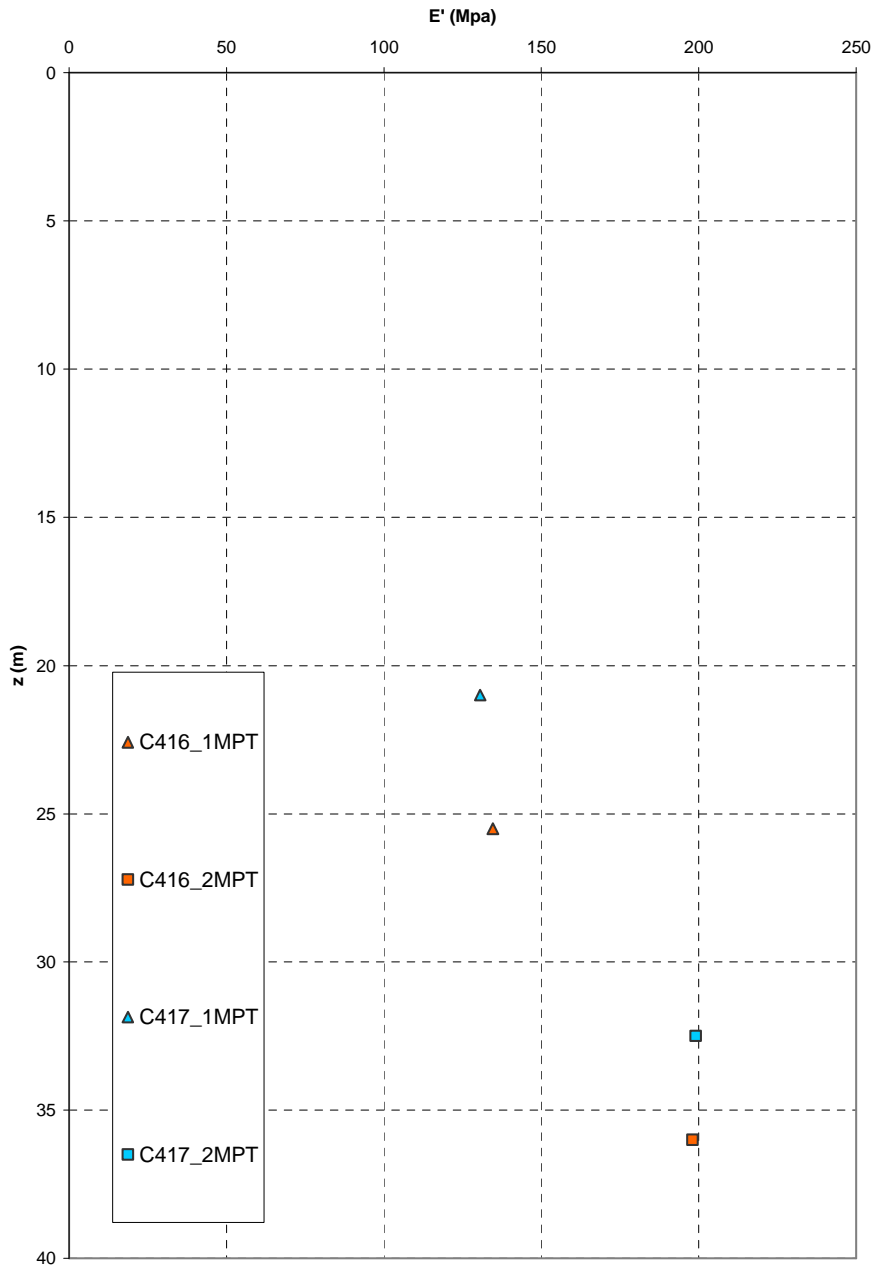
Prove sismiche
SABBIE E GHIAIE DI MESSINA
Rampa D_dec



**Prove sismiche
SABBIE E GHIAIE DI MESSINA
Rampa D_dec**



Prove pressiometriche
SABBIE E GHIAIE DI MESSINA



		Ponte sullo Stretto di Messina PROGETTO DEFINITIVO		
SCHEDA RIASSUNTIVA DI RINTRACCIABILITÀ DELL'OPERA		<i>Codice documento</i> CS0460_F0	<i>Rev</i> F0	<i>Data</i> 20/06/2011

Depositi Alluvionali

Il numero esiguo a disposizione di prove non consente un'analisi locale per cui si fa riferimento ai risultati della caratterizzazione generale.

Per quanto riguarda le caratteristiche fisiche l'andamento del fuso evidenzia che le caratteristiche granulometriche dei materiali in esame sono tipiche di materiali sia di materiali intermedi (ghiaie 36%, sabbie 49%). Il contenuto di fino è mediamente del 13% .

C'è da dire che a causa del campionamento l'analisi granulometrica (20 prove) può sicuramente risultare poco rappresentativa della parte più grossolana.

Con riferimento al fuso medio si ha:

- Il valore di D_{50} è pari a 0.8mm
- Il valore di D_{60} è pari a 1.6 mm
- Il valore di D_{10} è pari a 0.02 mm

Il peso di volume dei grani γ_s è risultato pari a circa 26.5 kN/m³.

Per quanto riguarda le caratteristiche fisiche si ha:

- **Dr**: la densità relativa media della prevalente componente sabbiosa è del 50-70% e del 50-60% della frazione ghiaiosa. I valori di N_{spt} sono stati corretti con un fattore $C_{sg}=0.85$.
- **e_o** : stimando per e_{max} un valore pari a 0.7 ed essendo a conoscenza di $e_{max} - e_{min}$ (0.31) dalla formula di D_r si ottiene per e_o rappresentato nel grafico.
- **γ_d** : in base ai valori precedentemente ricavati si può stimare dall'indice dei vuoti e_o e da γ_s un valore medio di γ_d pari a circa 18KN/m³.

Per quanto riguarda le caratteristiche di resistenza sulla base delle prove SPT si è ottenuto un valore medio di angolo di attrito di circa 40°, ai parametri di resistenza operativi al taglio in termini di sforzi efficaci si sono assegnati i seguenti valori operativi:

$c' = 0$ kPa = coesione apparente

$\phi' = 38^\circ \div 40^\circ$ =angolo di resistenza al taglio

Per i valori di stato critico, in assenza di prove specifiche, in base ai dati di letteratura si possono definire i seguenti valori operativi

$c'_r = 0$ kPa = coesione apparente

		Ponte sullo Stretto di Messina PROGETTO DEFINITIVO		
SCHEDA RIASSUNTIVA DI RINTRACCIABILITÀ DELL'OPERA		<i>Codice documento</i> CS0460_F0	<i>Rev</i> F0	<i>Data</i> 20/06/2011

$\varphi_r' = 33^\circ\text{-}35^\circ$ =angolo di resistenza al taglio

Per le caratteristiche di deformabilità dalla prova sismica in foro si ottengono valori di V_s che vanno mediamente da 160 m/s a 190 m/s i primi metri di profondità.

Da prove SPT la media di V_s stimata fino a 13m di profondità e di circa 200 m/s. E_0 è stimato in 120÷170 MPa a 2m di profondità.

Ai valori delle velocità di taglio sismiche V_s corrispondono moduli di taglio iniziali G_0 molto variabili. Una stima con la profondità si rende quindi difficoltosa per la dispersione di G_0 e per il numero ridotto di valori.

G_0 ed E_0 si possono esprimere in funzione di $z(m)$, una stima da SPT è data da:

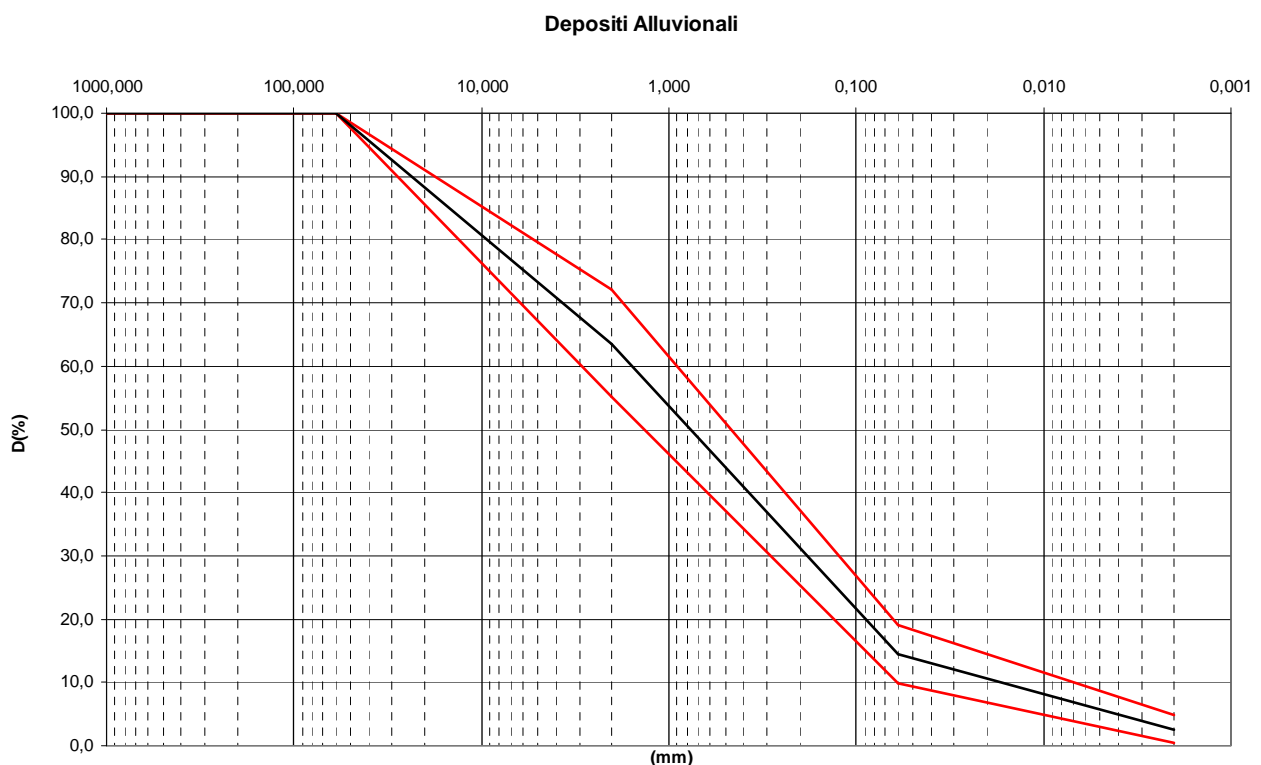
$$G_o = 14 \cdot z$$

$$E_o = 34 \cdot z$$

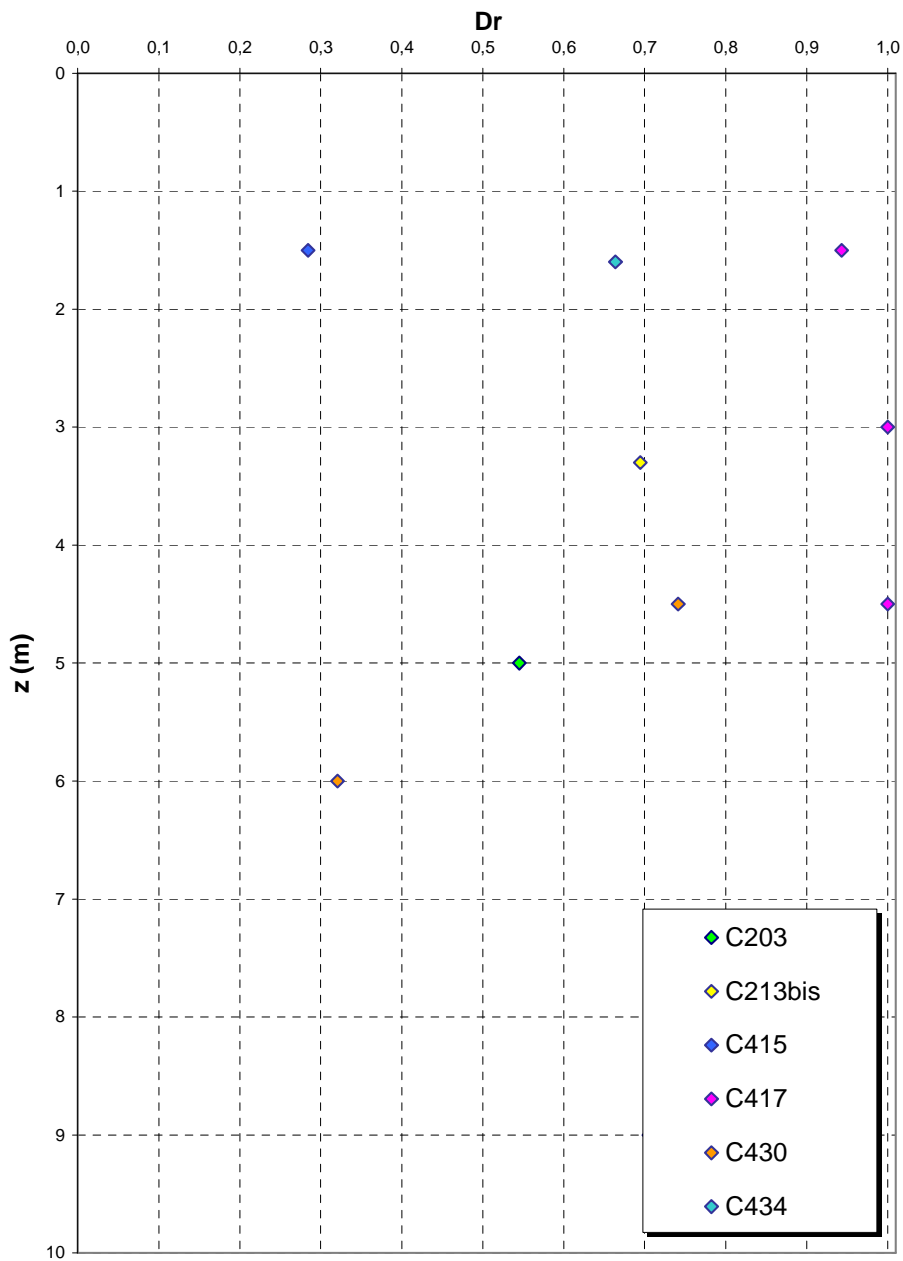
I moduli di Young “operativi” a medie deformazioni, valutati sulla base dei criteri descritti nei capitoli precedenti risulteranno pari a:

$$E = (4 - 11) \cdot z$$

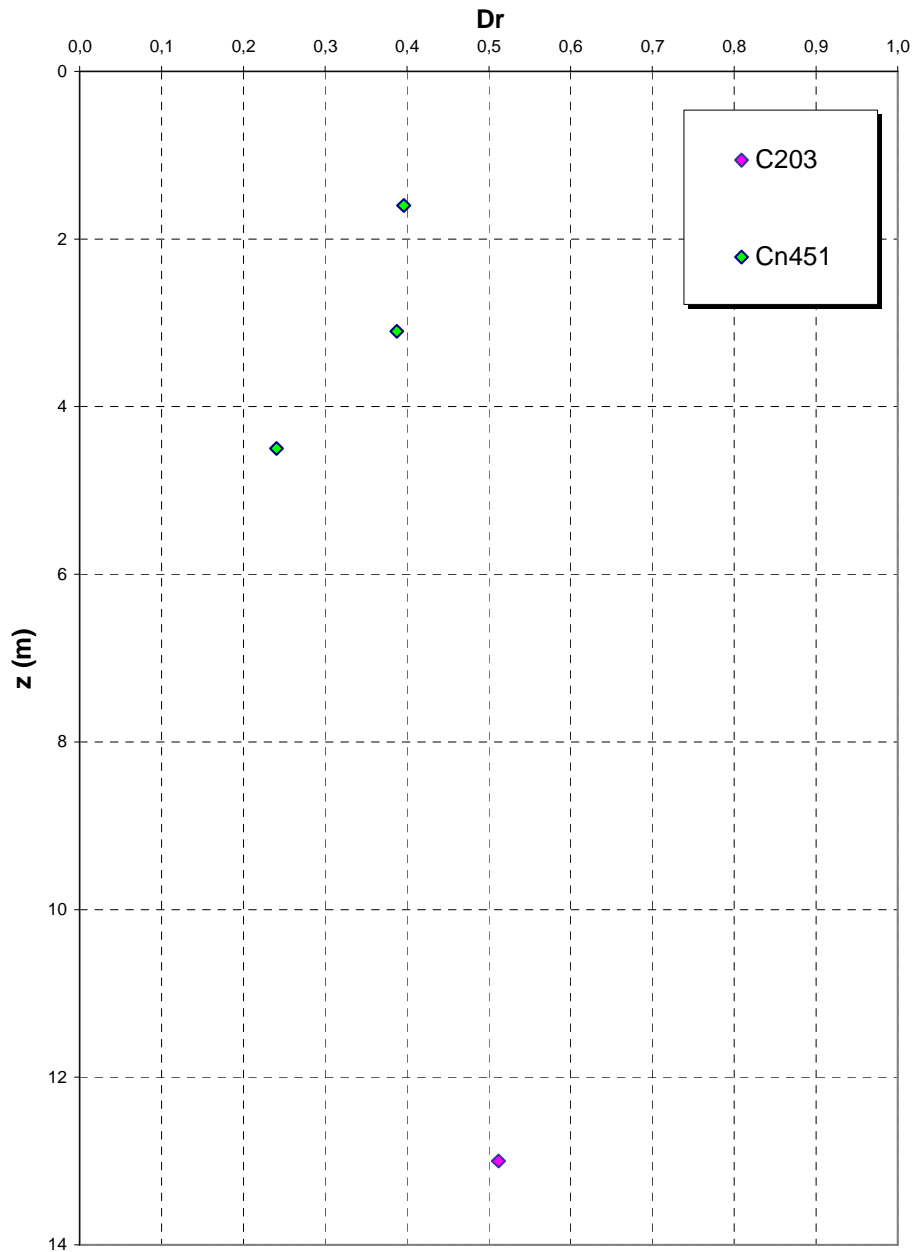
pari rispettivamente a circa $1/10 \div 1/5$ ed $1/3$ di quelli iniziali.



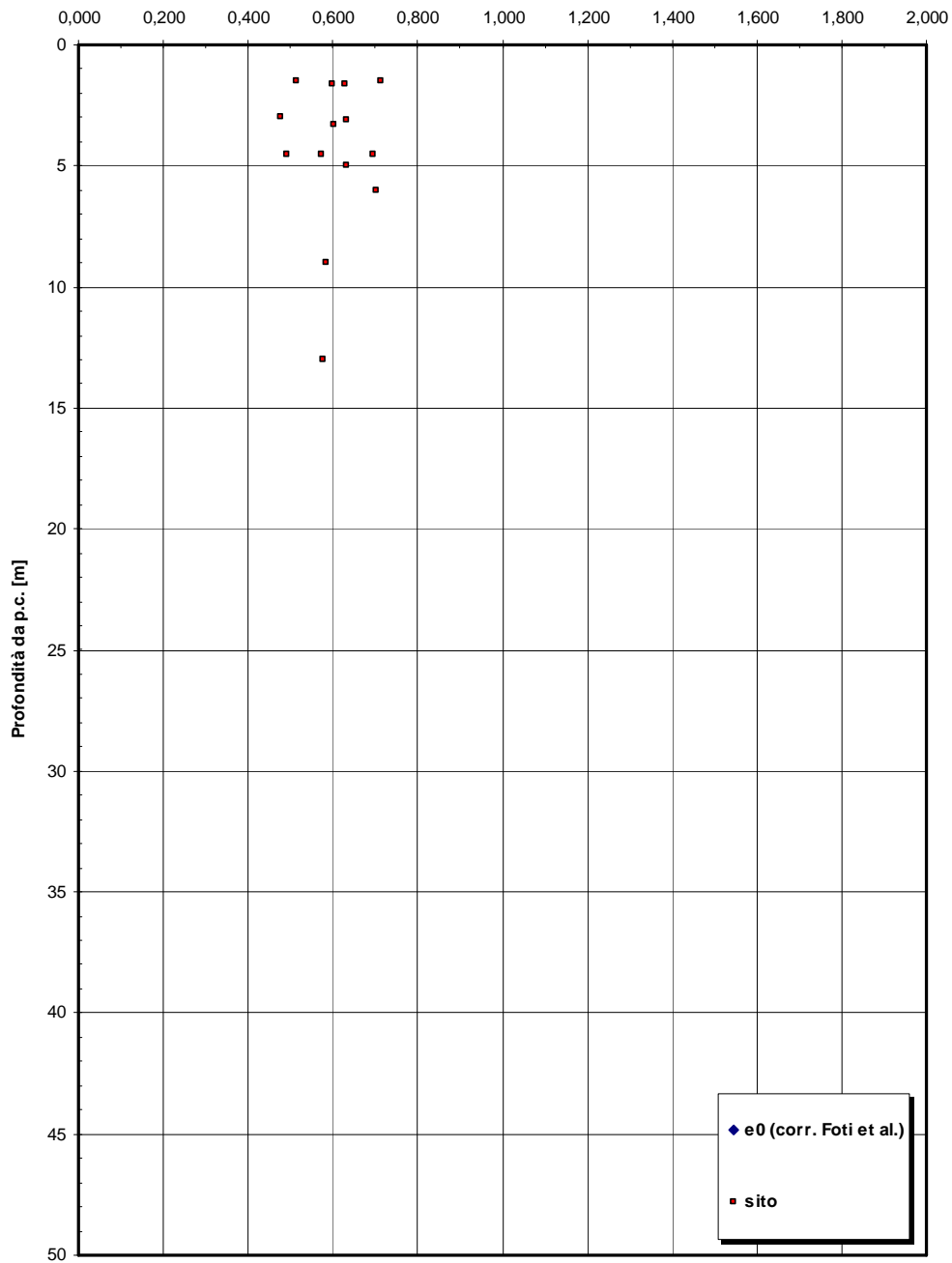
**Dr Skempton (1986)
Componente sabbiosa prevalente
DEPOSITI ALLUVIONALI**

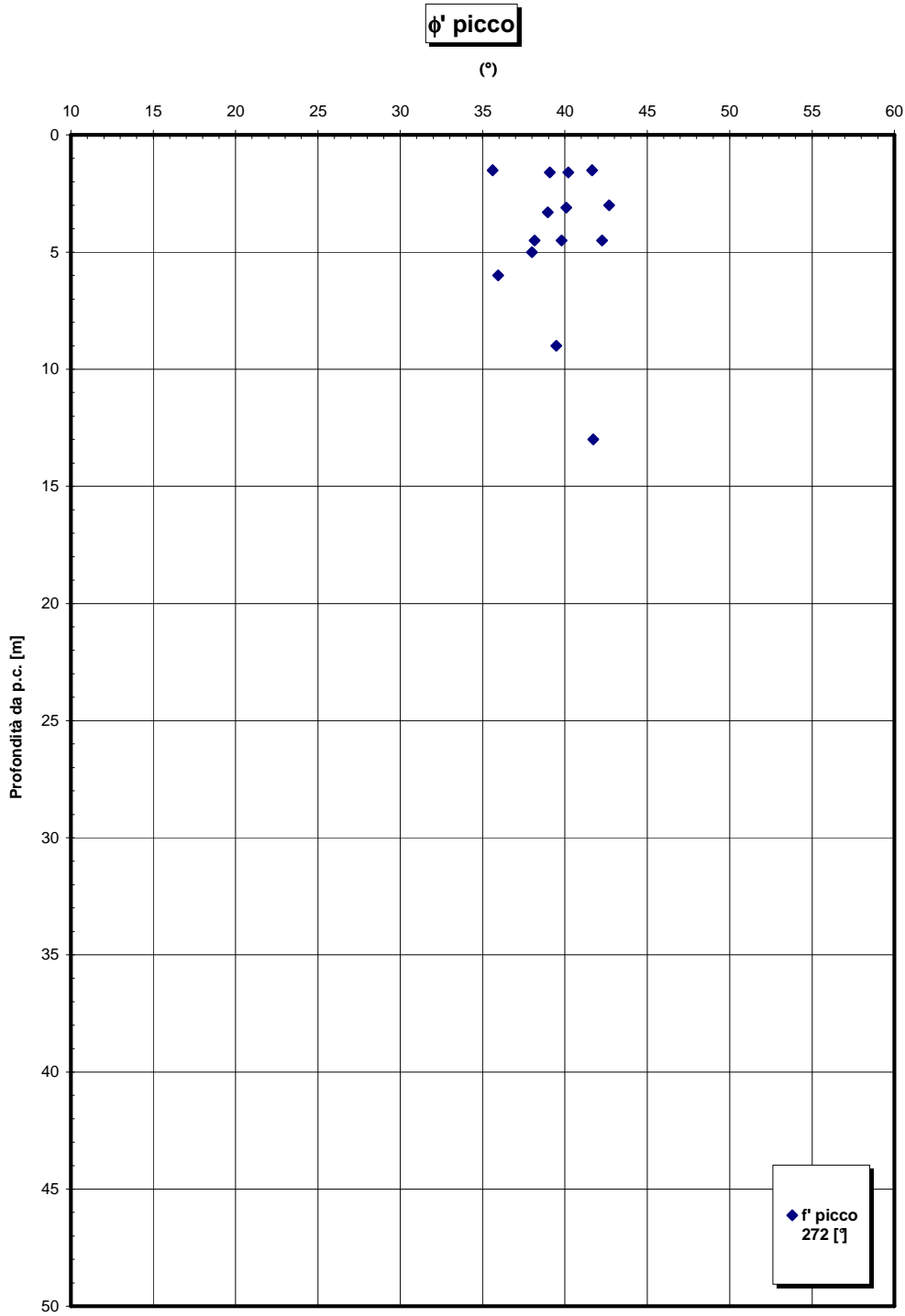


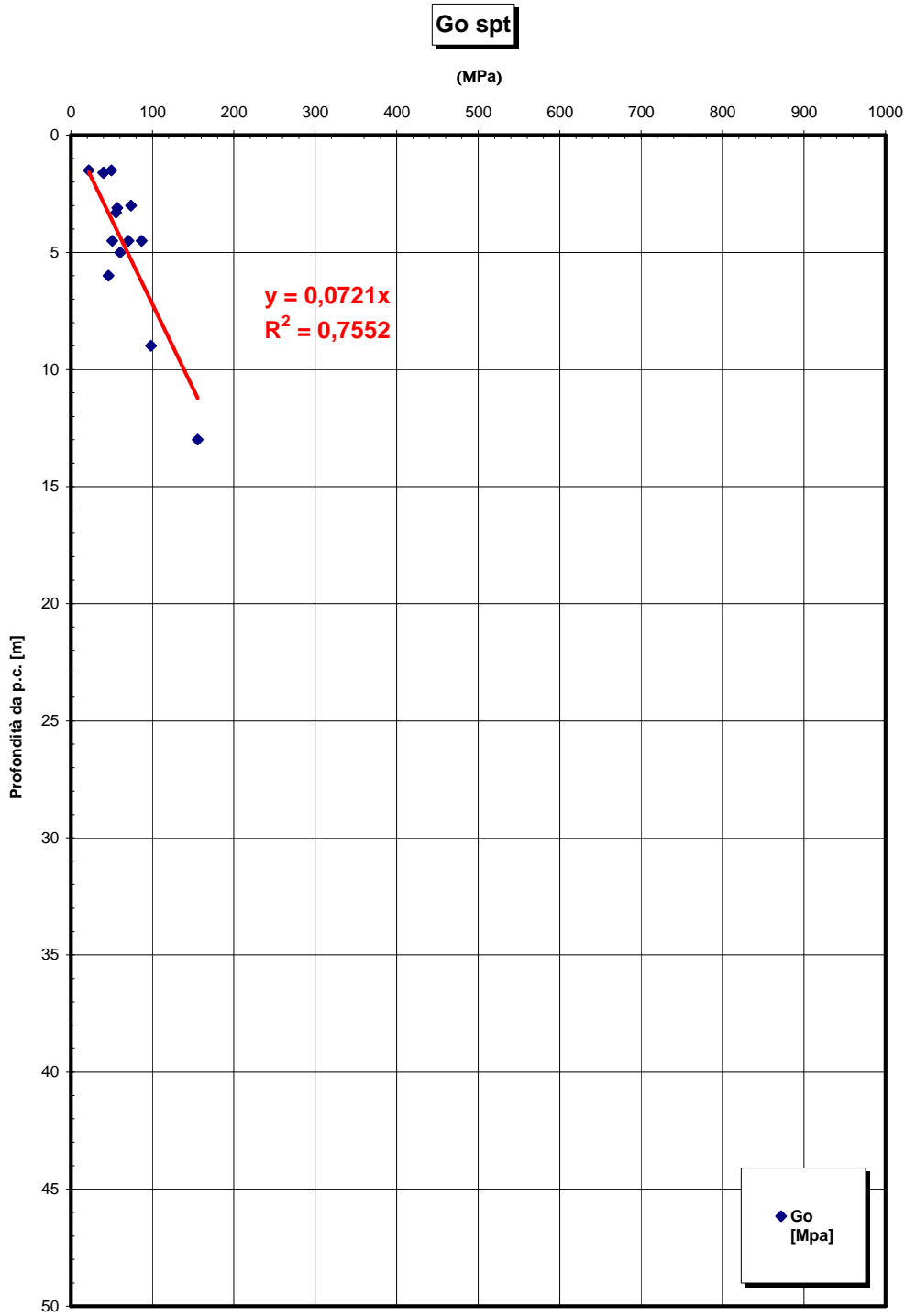
**Dr Cubrinovski e Ishihahara (1999)
Componente ghiaiosa e sabbiosa
DEPOSITI ALLUVIONALI**

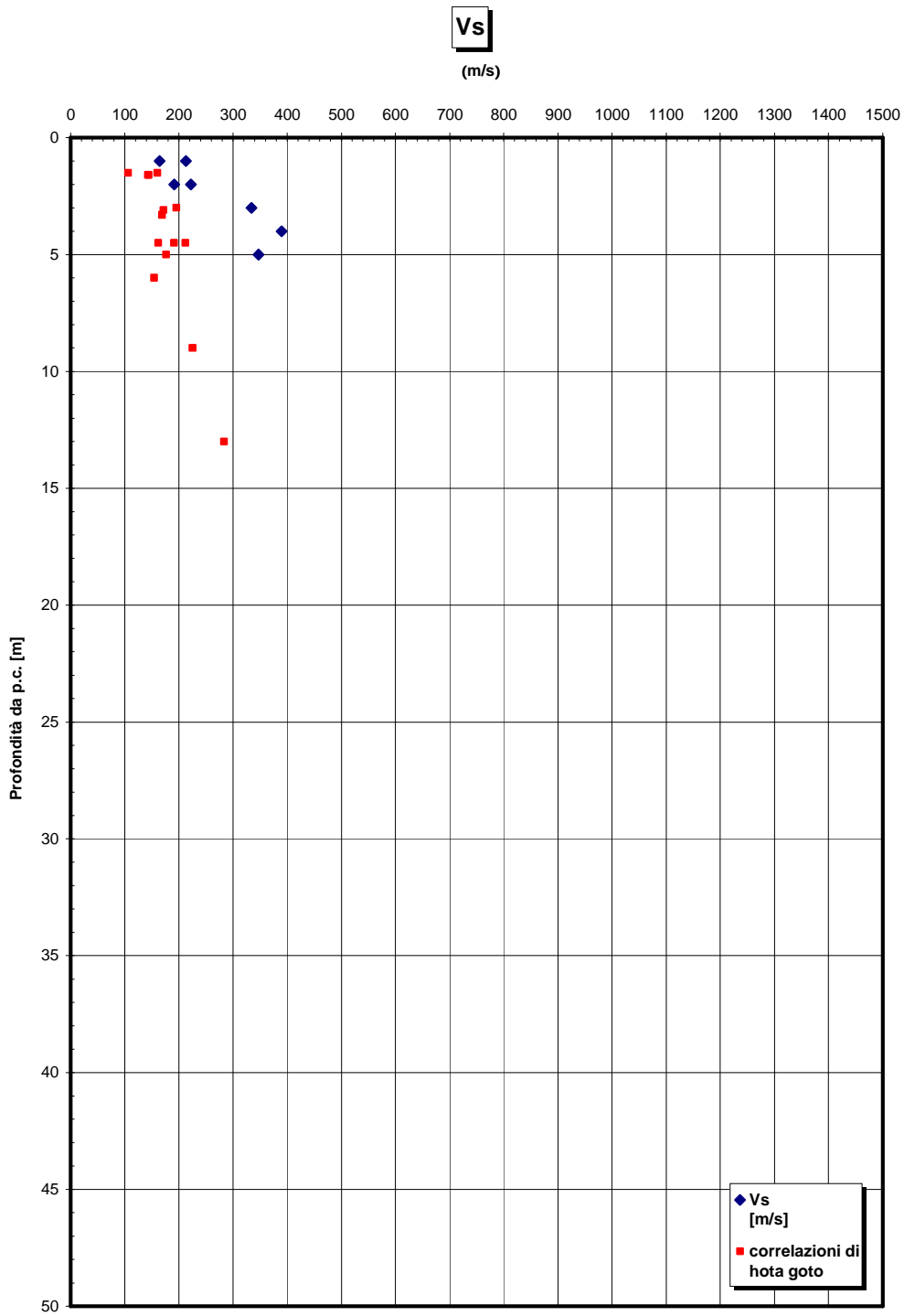


eo

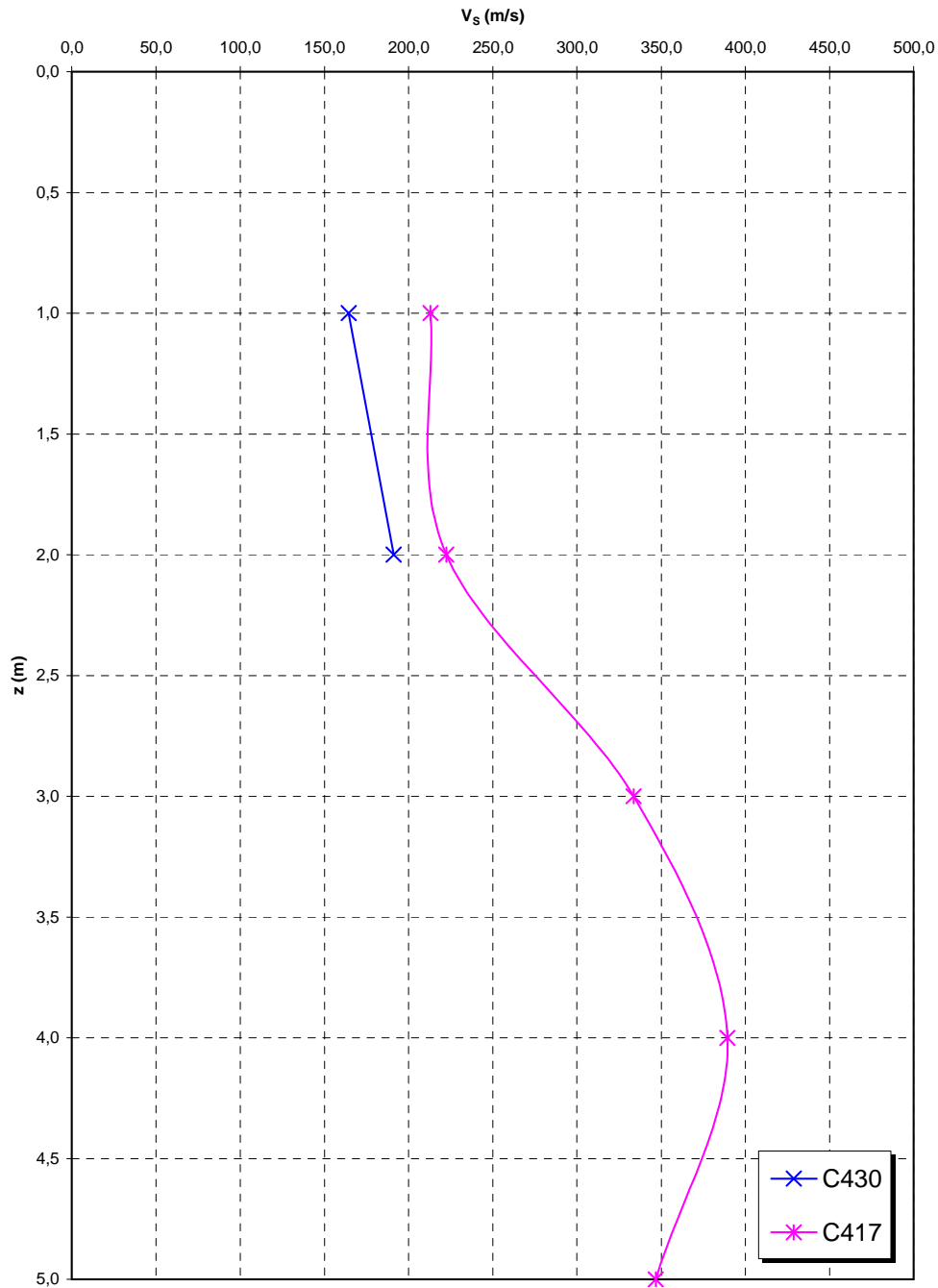




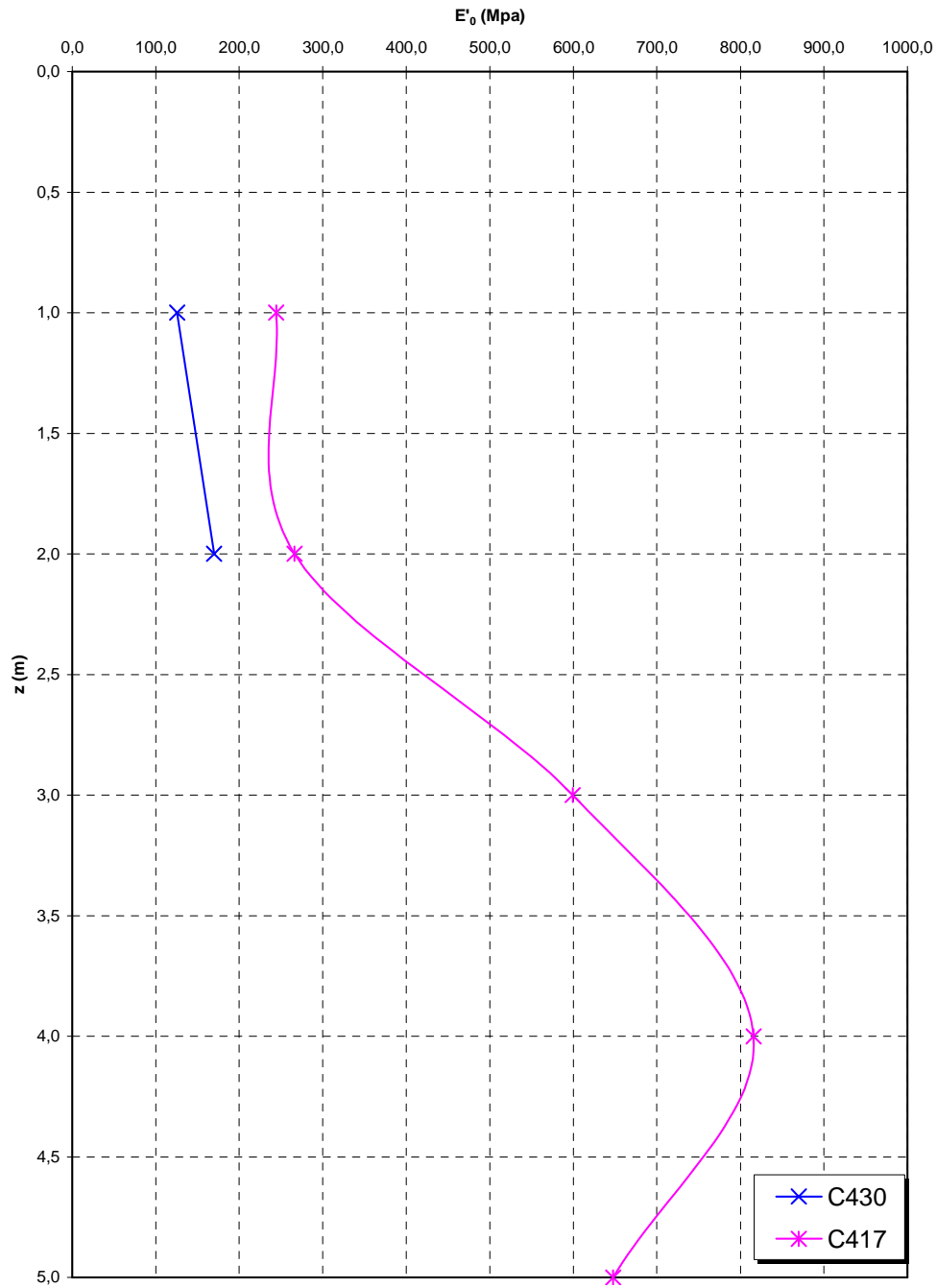




**Prove sismiche
DEPOSITI ALLUVIONALI**



**Prove sismiche
DEPOSITI ALLUVIONALI**



		Ponte sullo Stretto di Messina PROGETTO DEFINITIVO		
SCHEDA RIASSUNTIVA DI RINTRACCIABILITÀ DELL'OPERA		<i>Codice documento</i> CS0460_F0	<i>Rev</i> F0	<i>Data</i> 20/06/2011

4.3 CARATTERIZZAZIONE IDROGEOLOGICA E IDRAULICA DEL LUOGO

Il torrente Solaro presenta orientamento est - ovest e trae origine nel Comune di Campo Calabro, dove riceve gli scarichi dell'impianto di depurazione locale. Al momento del sopralluogo è presente una discreta quantità d'acqua in alveo, piuttosto maleodorante a causa dello scarico del depuratore stesso e/o di altri scarichi fognari non trattati.

In corrispondenza dell'impalcato di monte dell'attraversamento autostradale, il corso d'acqua è canalizzato sul lato destro di via Matteo Messina (direzione mare); la sezione risulta regolare, rivestita in calcestruzzo e fra muri di c.a., di larghezza 1,55 m e altezza utile 1 m. La sezione a tratti appare notevolmente parzializzata dalla vegetazione. All'altezza della fine dell'impalcato di valle, è presente un ponticello a soletta piana, preceduto da un salto di fondo di 1 m circa e caratterizzato da una sezione utile di forma rettangolare di 2,4 m di larghezza e 1,1 m di altezza libera.

Più a valle, in corrispondenza del campo da calcio è presente il manufatto di imbocco del tratto tombato che da qui si estende per una lunghezza di 410 m circa e pendenza media del 5,7% fino al termine della via Solaro Inferiore. La sezione di ingresso è di tipo rettangolare, in c.a. di larghezza 2,8 m e altezza 1,5 m.

Dopo un breve tratto a cielo aperto, sempre canalizzato tra muri in c.a. verticali, il torrente Solaro oltrepassa viale Umberto Zanotti Bianco mediante un ponte in c.a. a soletta piana di larghezza 3,5 m e altezza 1,5 m e, dopo un salto di fondo di 0,5 m, imbecca un manufatto scatolare di 3,5 m di larghezza e 2 m di altezza. Rispetto al tracciato rettilineo originario, su segnalazione del Settore tecnico del Comune, il tratto tombato terminale risulta deviato in corrispondenza della stazione marittima.

Il bacino del T. Solaro drena un settore della fascia collinare compresa tra villa San Giovanni e il Piano di Matinili. Questa fascia collinare trae origine dal rimodellamento da parte del reticolo idrografico di una serie di due ordini di terrazzi marini corrispondenti quello più basso all'area di Piale e Campo Calabro e quello più alto al Piano di Matinili. In tale settore il substrato è costituito essenzialmente da depositi pleistocenici continentali o marini (ghiaie di Messina) ghiaioso sabbiosi, poco o per nulla coerenti e quindi facilmente erodibili (affioramento di depositi pleistocenici facilmente erodibile lungo un fronte di cava abbandonato subito a monte

		Ponte sullo Stretto di Messina PROGETTO DEFINITIVO		
SCHEDA RIASSUNTIVA DI RINTRACCIABILITÀ DELL'OPERA		<i>Codice documento</i> CS0460_F0	<i>Rev</i> F0	<i>Data</i> 20/06/2011

dell'autostrada), in cui il Solaro ha modellato una stretta valle alluvionale a fondo piano compresa tra due scarpate di terrazzo.

Per buona parte del suo sviluppo il T. Solaro presenta un alveo artificializzato che, nel tratto di attraversamento dell'autostrada mostra una sezione rettangolare rivestita in calcestruzzo che corre sul lato Nord della via Messina. In tale settore in alveo sono visibili solo a tratti depositi alluvionali di una certa estensione. In analogia con quanto osservato negli altri torrenti della zona dovrebbe trattarsi di sabbie ghiaiose o ghiaie sabbiose.

I valori di portata idrologica del corso d'acqua con tempo di ritorno T_r 2, 5, 10, 30, 100 e 200 anni sono riportati nella seguente tabella.

	Q2	Q5	Q10	Q30	Q100	Q200
	m ³ /s					
T. SOLARO MONTE A3	10.8	16.5	20.3	26.1	32.2	35.8

Tabella 4.1 - Portate idrologiche per tempo di ritorno assegnato inserite nel modello.

Le simulazioni eseguite mostrano che il deflusso delle piene avviene in corrente veloce, data l'elevata pendenza media di fondo alveo (circa 5%).

Nel tratto più a monte (compreso tra le sezioni SOL-01 e SOL-04) tutte le piene non sono contenute nella sezione canalizzata del corso d'acqua; il tombino di dimensioni BxH=2.40x1.10 m a valle della sezione SOL-04 viene sormontato dalle piene con tempo di ritorno 10 anni, mostrando un funzionamento in pressione per quelle a tempo di ritorno 5 e 2 anni.

Da monte della sezione SOL-05 (dove il corso d'acqua non è ancora limitato in sinistra dal cordolo in cls) la sola piena a tempo di ritorno 2 anni è in grado di rientrare in alveo; gli altri deflussi si propagano verso valle sulla via Messina. Per tenere conto di questo comportamento, si è adottata una schematizzazione idrodinamica tale da anettere all'alveo di piena del Solaro la strada (via Messina).

		Ponte sullo Stretto di Messina PROGETTO DEFINITIVO		
SCHEDA RIASSUNTIVA DI RINTRACCIABILITÀ DELL'OPERA		<i>Codice documento</i> CS0460_F0	<i>Rev</i> F0	<i>Data</i> 20/06/2011

4.4 CARATTERIZZAZIONE DELLA SISMICITA' DEL LUOGO

L'effetto dell'azione sismica di progetto sull'opera nel suo complesso, includendo il volume significativo di terreno, la struttura di fondazione, gli elementi strutturali e non, nonché gli impianti, deve rispettare gli stati limite ultimi e di esercizio definiti al § 3.2.1, i cui requisiti di sicurezza sono indicati nel § 7.1 della norma.

Il rispetto degli stati limite si considera conseguito quando:

- nei confronti degli stati limite di esercizio siano rispettate le verifiche relative al solo Stato Limite di Danno;
- nei confronti degli stati limite ultimi siano rispettate le verifiche relative al solo Stato Limite di salvaguardia della Vita.

Per Stato Limite di Danno (SLD) s'intende che l'opera, nel suo complesso, a seguito del terremoto, includendo gli elementi strutturali, quelli non strutturali, le apparecchiature rilevanti alla sua funzione, subisce danni tali da non provocare rischi agli utenti e non compromette significativamente la capacità di resistenza e di rigidezza nei confronti delle azioni verticali e orizzontali. Lo stato limite di esercizio comporta la verifica delle tensioni di lavoro, in conformità al § 4.1.2.2.5 [NT_1].

Per Stato Limite di salvaguardia della Vita (SLV) si intende che l'opera a seguito del terremoto subisce rotture e crolli dei componenti non strutturali e impiantistici e significativi danni di componenti strutturali, cui si associa una perdita significativa di rigidezza nei confronti delle azioni orizzontali (creazione di cerniere plastiche secondo il criterio della gerarchia delle resistenze), mantenendo ancora un margine di sicurezza (resistenza e rigidezza) nei confronti delle azioni verticali.

Gli stati limite, sia di esercizio sia ultimi, sono individuati riferendosi alle prestazioni che l'opera a realizzarsi deve assolvere durante un evento sismico; per la funzione che l'opera deve espletare nella sua vita utile, è significativo calcolare lo Stato Limite di Danno (SLD) per l'esercizio e lo Stato Limite di Salvaguardia della Vita (SLV) per lo stato limite ultimo.

Per la definizione dell'azione sismica, occorre definire il periodo di riferimento P_{VR} in funzione dello stato limite considerato.

La vita nominale (V_N) dell'opera è stata assunta pari a $V_N = 100$ anni.

La classe d'uso assunta è la IV, da cui $C_u = 2$.

Il periodo di riferimento (V_R) per l'azione sismica, data la vita nominale e la classe d'uso vale:

$$V_R = V_N \cdot C_u = 200 \text{ anni}$$

		Ponte sullo Stretto di Messina PROGETTO DEFINITIVO		
SCHEDA RIASSUNTIVA DI RINTRACCIABILITÀ DELL'OPERA		<i>Codice documento</i> CS0460_F0	<i>Rev</i> F0	<i>Data</i> 20/06/2011

I valori di probabilità di superamento del periodo di riferimento P_{VR} , cui riferirsi per individuare l'azione sismica agente è:

$$P_{VR}(\text{SLD}) = 63\%$$

$$P_{VR}(\text{SLV}) = 10\%$$

Il periodo di ritorno dell'azione sismica T_R espresso in anni, vale:

$$T_R(\text{SLD}) = \frac{V_r}{\ln(1 - P_{vr})} = 201 \text{ anni}$$

$$T_R(\text{SLV}) = \frac{V_r}{\ln(1 - P_{vr})} = 1898 \text{ anni}$$

Dato il valore del periodo di ritorno suddetto, tramite le tabelle riportate nell'Allegato B della norma o tramite la mappatura messa a disposizione in rete dall'Istituto Nazionale di Geofisica e Vulcanologia (INGV), è possibile definire i valori di a_g , F_0 , T^*_c .

a_g → accelerazione orizzontale massima del terreno su suolo di categoria A, espressa come frazione dell'accelerazione di gravità;

F_0 → valore massimo del fattore di amplificazione dello spettro in accelerazione orizzontale;

T^*_c → periodo di inizio del tratto a velocità costante dello spettro in accelerazione orizzontale;

S → coefficiente che comprende l'effetto dell'amplificazione stratigrafica (S_s) e dell'amplificazione topografica (S_t);

I valori delle caratteristiche sismiche (a_g , F_0 , T^*_c) per lo Stato Limite di salvaguardia della Vita sono:

Per SLD → ($a_g=0,175g$; $F_0=2,352$; $T^*_c=0,335s$)

Per SLV → ($a_g=0,448g$; $F_0=2,490$; $T^*_c=0,423s$)

Il sottosuolo su cui insiste l'opera può essere inserito nella categoria "B".

Il valore del coefficiente di amplificazione stratigrafico risulta:

$$S_s(\text{SLD}) = 1,4 - 0,4 \cdot F_0 \cdot a_g/g = 1,235 \text{ essendo il valore } > 1,2 \text{ si assume } S_s(\text{SLD}) = 1,2$$

$$S_s(\text{SLV}) = 1,4 - 0,4 \cdot F_0 \cdot a_g/g = 0,953 \text{ essendo il valore } < 1 \text{ si assume } S_s(\text{SLV}) = 1,0$$

Le caratteristiche della superficie topografica possono essere assunte come categoria T1, adottando di conseguenza un valore di amplificazione topografica $S_T = 1,0$.

L'accelerazione massima è valutata con la relazione:

$$a_{\max}(\text{SLD}) = S \cdot a_g = S_s \cdot S_T \cdot a_g = 1,2 \cdot 1,0 \cdot 0,175g = 0,209g$$

$$a_{\max}(\text{SLV}) = S \cdot a_g = S_s \cdot S_T \cdot a_g = 1,0 \cdot 1,0 \cdot 0,448g = 0,448g$$

Per completezza di riportano gli spettri elastici di progetto (in forma tabellare) sia per gli SLD che per gli SLV in direzione orizzontale e verticale:

		Ponte sullo Stretto di Messina PROGETTO DEFINITIVO		
SCHEDA RIASSUNTIVA DI RINTRACCIABILITÀ DELL'OPERA		Codice documento CS0460_F0	Rev F0	Data 20/06/2011

Parametri e punti dello spettro di risposta orizzontale per lo stato limite: SLD

Parametri indipendenti

STATO LIMITE	SLD
a_g	0,175 g
F_0	2,352
T_C	0,335 s
S_S	1,200
C_C	1,369
S_T	1,000
q	1,000

Parametri dipendenti

S	1,200
η	1,000
T_B	0,153 s
T_C	0,459 s
T_D	2,298 s

Espressioni dei parametri dipendenti

$$S = S_S \cdot S_T \quad (\text{NTC-08 Eq. 3.2.5})$$

$$\eta = \sqrt{10/(5+\xi)} \geq 0,55; \quad \eta = 1/q \quad (\text{NTC-08 Eq. 3.2.6; §. 3.2.3.5})$$

$$T_B = T_C / 3 \quad (\text{NTC-07 Eq. 3.2.8})$$

$$T_C = C_C \cdot T_C^* \quad (\text{NTC-07 Eq. 3.2.7})$$

$$T_D = 4,0 \cdot a_g / g + 1,6 \quad (\text{NTC-07 Eq. 3.2.9})$$

Espressioni dello spettro di risposta (NTC-08 Eq. 3.2.4)

$$0 \leq T < T_B \quad S_e(T) = a_g \cdot S \cdot \eta \cdot F_0 \cdot \left[\frac{T}{T_B} + \frac{1}{\eta \cdot F_0} \left(1 - \frac{T}{T_B} \right) \right]$$

$$T_B \leq T < T_C \quad S_e(T) = a_g \cdot S \cdot \eta \cdot F_0$$

$$T_C \leq T < T_D \quad S_e(T) = a_g \cdot S \cdot \eta \cdot F_0 \cdot \left(\frac{T_C}{T} \right)$$

$$T_D \leq T \quad S_e(T) = a_g \cdot S \cdot \eta \cdot F_0 \cdot \left(\frac{T_C T_D}{T^2} \right)$$

Lo spettro di progetto $S_d(T)$ per le verifiche agli Stati Limite Ultimi è ottenuto dalle espressioni dello spettro elastico $S_e(T)$ sostituendo η con $1/q$, dove q è il fattore di struttura. (NTC-08 § 3.2.3.5)

Punti dello spettro di risposta

	T [s]	Se [g]
	0,000	0,209
T_B ←	0,153	0,493
T_C ←	0,459	0,493
	0,546	0,414
	0,634	0,356
	0,721	0,313
	0,809	0,279
	0,897	0,252
	0,984	0,230
	1,072	0,211
	1,159	0,195
	1,247	0,181
	1,335	0,169
	1,422	0,159
	1,510	0,150
	1,597	0,141
	1,685	0,134
	1,773	0,127
	1,860	0,121
	1,948	0,116
	2,035	0,111
	2,123	0,106
	2,211	0,102
T_D ←	2,298	0,098
	2,379	0,092
	2,460	0,086
	2,541	0,080
	2,622	0,075
	2,703	0,071
	2,784	0,067
	2,865	0,063
	2,946	0,060
	3,027	0,057
	3,109	0,054
	3,190	0,051
	3,271	0,049
	3,352	0,046
	3,433	0,044
	3,514	0,042
	3,595	0,040
	3,676	0,038
	3,757	0,037
	3,838	0,035
	3,919	0,034
	4,000	0,032

		Ponte sullo Stretto di Messina PROGETTO DEFINITIVO	
SCHEDA RIASSUNTIVA DI RINTRACCIABILITÀ DELL'OPERA		Codice documento CS0460_F0	Rev Data F0 20/06/2011

Parametri e punti dello spettro di risposta verticale per lo stato limite: SLD

Parametri indipendenti

STATO LIMITE	SLD
a_{qv}	0,098 g
S_S	1,000
S_T	1,000
q	1,000
T_B	0,050 s
T_C	0,150 s
T_D	1,000 s

Parametri dipendenti

F_v	1,327
S	1,000
η	1,000

Espressioni dei parametri dipendenti

$$S = S_S \cdot S_T \quad (\text{NTC-08 Eq. 3.2.5})$$

$$\eta = 1/q \quad (\text{NTC-08 §. 3.2.3.5})$$

$$F_v = 1,35 \cdot F_o \cdot \left(\frac{a_g}{g} \right)^{0,5} \quad (\text{NTC-08 Eq. 3.2.11})$$

Espressioni dello spettro di risposta (NTC-08 Eq. 3.2.10)

$$0 \leq T < T_B \quad S_e(T) = a_g \cdot S \cdot \eta \cdot F_v \cdot \left[\frac{T}{T_B} + \frac{1}{\eta \cdot F_o} \left(1 - \frac{T}{T_B} \right) \right]$$

$$T_B \leq T < T_C \quad S_e(T) = a_g \cdot S \cdot \eta \cdot F_v$$

$$T_C \leq T < T_D \quad S_e(T) = a_g \cdot S \cdot \eta \cdot F_v \cdot \left(\frac{T_C}{T} \right)$$

$$T_D \leq T \quad S_e(T) = a_g \cdot S \cdot \eta \cdot F_v \cdot \left(\frac{T_C T_D}{T^2} \right)$$

Punti dello spettro di risposta

	T [s]	Se [g]
	0,000	0,098
$T_B \leftarrow$	0,050	0,232
$T_C \leftarrow$	0,150	0,232
	0,235	0,148
	0,320	0,109
	0,405	0,086
	0,490	0,071
	0,575	0,060
	0,660	0,053
	0,745	0,047
	0,830	0,042
	0,915	0,038
$T_D \leftarrow$	1,000	0,035
	1,094	0,029
	1,188	0,025
	1,281	0,021
	1,375	0,018
	1,469	0,016
	1,563	0,014
	1,656	0,013
	1,750	0,011
	1,844	0,010
	1,938	0,009
	2,031	0,008
	2,125	0,008
	2,219	0,007
	2,313	0,006
	2,406	0,006
	2,500	0,006
	2,594	0,005
	2,688	0,005
	2,781	0,004
	2,875	0,004
	2,969	0,004
	3,063	0,004
	3,156	0,003
	3,250	0,003
	3,344	0,003
	3,438	0,003
	3,531	0,003
	3,625	0,003
	3,719	0,003
	3,813	0,002
	3,906	0,002
	4,000	0,002

		Ponte sullo Stretto di Messina PROGETTO DEFINITIVO	
SCHEDA RIASSUNTIVA DI RINTRACCIABILITÀ DELL'OPERA		Codice documento CS0460_F0	Rev Data F0 20/06/2011

Parametri e punti dello spettro di risposta orizzontale per lo stato limite: **SLV**

Parametri indipendenti

STATO LIMITE	SLV
a_g	0,448 g
F_0	2,490
T_C	0,423 s
S_S	1,000
C_C	1,307
S_T	1,000
q	1,000

Parametri dipendenti

S	1,000
η	1,000
T_B	0,184 s
T_C	0,552 s
T_D	3,394 s

Espressioni dei parametri dipendenti

$$S = S_S \cdot S_T \quad (\text{NTC-08 Eq. 3.2.5})$$

$$\eta = \sqrt{10/(5 + \xi)} \geq 0,55; \quad \eta = 1/q \quad (\text{NTC-08 Eq. 3.2.6; §. 3.2.3.5})$$

$$T_B = T_C / 3 \quad (\text{NTC-07 Eq. 3.2.8})$$

$$T_C = C_C \cdot T_C^* \quad (\text{NTC-07 Eq. 3.2.7})$$

$$T_D = 4,0 \cdot a_g / g + 1,6 \quad (\text{NTC-07 Eq. 3.2.9})$$

Espressioni dello spettro di risposta (NTC-08 Eq. 3.2.4)

$$0 \leq T < T_B \quad S_e(T) = a_g \cdot S \cdot \eta \cdot F_0 \cdot \left[\frac{T}{T_B} + \frac{1}{\eta \cdot F_0} \left(1 - \frac{T}{T_B} \right) \right]$$

$$T_B \leq T < T_C \quad S_e(T) = a_g \cdot S \cdot \eta \cdot F_0$$

$$T_C \leq T < T_D \quad S_e(T) = a_g \cdot S \cdot \eta \cdot F_0 \cdot \left(\frac{T_C}{T} \right)$$

$$T_D \leq T \quad S_e(T) = a_g \cdot S \cdot \eta \cdot F_0 \cdot \left(\frac{T_C T_D}{T^2} \right)$$

Lo spettro di progetto $S_d(T)$ per le verifiche agli Stati Limite Ultimi è ottenuto dalle espressioni dello spettro elastico $S_e(T)$ sostituendo η con $1/q$, dove q è il fattore di struttura. (NTC-08 § 3.2.3.5)

Punti dello spettro di risposta

	T [s]	Se [g]
	0,000	0,448
$T_B \leftarrow$	0,184	1,117
$T_C \leftarrow$	0,552	1,117
	0,688	0,897
	0,823	0,750
	0,958	0,644
	1,094	0,564
	1,229	0,502
	1,364	0,452
	1,500	0,411
	1,635	0,377
	1,770	0,348
	1,906	0,324
	2,041	0,302
	2,176	0,283
	2,311	0,267
	2,447	0,252
	2,582	0,239
	2,717	0,227
	2,853	0,216
	2,988	0,206
	3,123	0,198
	3,259	0,189
$T_D \leftarrow$	3,394	0,182
	3,423	0,179
	3,452	0,176
	3,481	0,173
	3,509	0,170
	3,538	0,167
	3,567	0,165
	3,596	0,162
	3,625	0,159
	3,654	0,157
	3,683	0,154
	3,711	0,152
	3,740	0,150
	3,769	0,147
	3,798	0,145
	3,827	0,143
	3,856	0,141
	3,885	0,139
	3,913	0,137
	3,942	0,135
	3,971	0,133
	4,000	0,131

		Ponte sullo Stretto di Messina PROGETTO DEFINITIVO	
SCHEDA RIASSUNTIVA DI RINTRACCIABILITÀ DELL'OPERA		Codice documento CS0460_F0	Rev Data F0 20/06/2011

Parametri e punti dello spettro di risposta verticale per lo stato limite: SLV

Parametri indipendenti

STATO LIMITE	SLV
a_{gv}	0,405 g
S_S	1,000
S_T	1,000
q	1,000
T_B	0,050 s
T_C	0,150 s
T_D	1,000 s

Parametri dipendenti

F_v	2,251
S	1,000
η	1,000

Espressioni dei parametri dipendenti

$$S = S_S \cdot S_T \quad (\text{NTC-08 Eq. 3.2.5})$$

$$\eta = 1/q \quad (\text{NTC-08 §. 3.2.3.5})$$

$$F_v = 1,35 \cdot F_0 \cdot \left(\frac{a_g}{g} \right)^{0,5} \quad (\text{NTC-08 Eq. 3.2.11})$$

Espressioni dello spettro di risposta (NTC-08 Eq. 3.2.10)

$$0 \leq T < T_B \quad S_e(T) = a_g \cdot S \cdot \eta \cdot F_v \cdot \left[\frac{T}{T_B} + \frac{1}{\eta \cdot F_0} \left(1 - \frac{T}{T_B} \right) \right]$$

$$T_B \leq T < T_C \quad S_e(T) = a_g \cdot S \cdot \eta \cdot F_v$$

$$T_C \leq T < T_D \quad S_e(T) = a_g \cdot S \cdot \eta \cdot F_v \cdot \left(\frac{T_C}{T} \right)$$

$$T_D \leq T \quad S_e(T) = a_g \cdot S \cdot \eta \cdot F_v \cdot \left(\frac{T_C T_D}{T^2} \right)$$

Punti dello spettro di risposta

	T [s]	Se [g]
	0,000	0,405
$T_B \leftarrow$	0,050	1,010
$T_C \leftarrow$	0,150	1,010
	0,235	0,644
	0,320	0,473
	0,405	0,374
	0,490	0,309
	0,575	0,263
	0,660	0,229
	0,745	0,203
	0,830	0,182
	0,915	0,166
$T_D \leftarrow$	1,000	0,151
	1,094	0,127
	1,188	0,107
	1,281	0,092
	1,375	0,080
	1,469	0,070
	1,563	0,062
	1,656	0,055
	1,750	0,049
	1,844	0,045
	1,938	0,040
	2,031	0,037
	2,125	0,034
	2,219	0,031
	2,313	0,028
	2,406	0,026
	2,500	0,024
	2,594	0,023
	2,688	0,021
	2,781	0,020
	2,875	0,018
	2,969	0,017
	3,063	0,016
	3,156	0,015
	3,250	0,014
	3,344	0,014
	3,438	0,013
	3,531	0,012
	3,625	0,012
	3,719	0,011
	3,813	0,010
	3,906	0,010
	4,000	0,009

		Ponte sullo Stretto di Messina PROGETTO DEFINITIVO		
SCHEDA RIASSUNTIVA DI RINTRACCIABILITÀ DELL'OPERA		<i>Codice documento</i> CS0460_F0	<i>Rev</i> F0	<i>Data</i> 20/06/2011

L'applicazione delle azioni sismiche alle sottostrutture, viene affrontato mediante il metodo pseudostatico ([NT_1] § 7.11.6). In queste condizioni l'azione sismica è rappresentata da una forza statica equivalente pari al prodotto delle forze di gravità per un opportuno coefficiente sismico.

L'analisi sismica per il corpo Spalla è stata fatta considerando il valore di ancoraggio dello spettro. Essendo le spalle opere a comportamento deformabile (potendo permettere movimenti relativi di roto-traslazione fra struttura e terreno), l'azione sismica viene valutata in accordo con UNI EN 1998-5:2005 secondo la relazione di Mononobe-Okabe:

$$\beta \leq \phi - \theta: K = \frac{\text{sen}^2(\psi + \phi - \theta)}{\cos \theta \text{sen}^2 \psi \text{sen}(\psi - \theta - \delta) \left[1 + \sqrt{\frac{\text{sen}(\phi + \delta) \text{sen}(\phi - \beta - \theta)}{\text{sen}(\psi - \theta - \delta) \text{sen}(\psi + \beta)}} \right]^2}$$

$$\beta > \phi - \theta: K = \frac{\text{sen}^2(\psi + \phi - \theta)}{\cos \theta \text{sen}^2 \psi \text{sen}(\psi - \theta - \delta)}$$

In cui:

- ϕ'_d è il valore di progetto dell'angolo di resistenza a taglio del terreno, cioè: $\phi'_d = \tan^{-1}\left(\frac{\tan \phi'}{\gamma_{\phi'}}\right)$;
- ψ e β sono gli angoli di inclinazione rispetto all'orizzontale, rispettivamente della parete del muro rivolta a monte e della superficie del terrapieno, come mostrato in figura E.1;
- δ_d è il valore di progetto dell'angolo di attrito tra terreno e muro, cioè: $\delta_d = \tan^{-1}\left(\frac{\tan \delta}{\gamma_{\phi'}}\right)$;
- θ è l'angolo definito sotto nei punti da **E.5** a **E.7**.

Il punto di applicazione della spinta è posto $h_{tot}/2$, con "h_{tot}" altezza del muro di sostegno.

Nelle verifiche allo Stato Limite Ultimo, i valori dei coefficienti sismici orizzontali k_h e verticale k_v possono essere valutati mediante le espressioni:

$$k_h = \beta_m \cdot \frac{a_{max}}{g} \qquad k_v = \pm 0.5 \cdot k_h$$

dove

- a_{max} = accelerazione orizzontale massima attesa al sito;
- g = accelerazione di gravità;
- β = parametro riduttivo dell'azione sismica in accordo con il §7.11.6.2.1 di [NT_1] (cautelativamente si assumerà $\beta = 1,00$).

		Ponte sullo Stretto di Messina PROGETTO DEFINITIVO		
SCHEDA RIASSUNTIVA DI RINTRACCIABILITÀ DELL'OPERA		<i>Codice documento</i> CS0460_F0	<i>Rev</i> F0	<i>Data</i> 20/06/2011

4.5 CARATTERISTICHE DEL SISTEMA DI VINCOLAMENTO E DEI GIUNTI

Dalle analisi condotte si ottengono le seguenti azioni e deformazioni massime (espresse in kN o mm) per ogni tipo di appoggio impiegato. In particolare, per le azioni orizzontali, si considerano dimensionanti le azioni in combinazione sismica in quanto superiori di circa 3 volte le azioni agli stati limite ultimi.

4.5.1 Appoggi relativi alle spalle

▪ APPOGGIO UNIDIREZIONALE LONGITUDINALE

$$F_x = 0 \text{ kN}$$

$$F_y = 1,00 \cdot E_y = \pm 3803 \text{ kN}$$

$$F_z = 1,35 \cdot G_k + \varepsilon_1 + 1,20 \cdot \varepsilon_2 + 1,35 \cdot Q_k + 1,5 \cdot 0,6 \cdot Q_5 + 1,2 \cdot 0,6 \cdot \varepsilon_3 = 1,35 \cdot (-839-364) + (-53) + 1,20 \cdot (-141) + 1,35 \cdot (-1487) + 1,5 \cdot 0,6 \cdot (-73) + 1,2 \cdot 0,6 \cdot (-174) \approx -4045 \text{ kN}$$

$$\text{Spostamenti } s_x \approx \pm 70 \text{ mm}$$

$$\text{Spostamenti } s_y = 0 \text{ mm}$$

▪ APPOGGI MULTIDIREZIONALI

$$F_x \text{ e } F_y = 0 \text{ kN}$$

$$F_z = 1,35 \cdot G_k + \varepsilon_1 + 1,20 \cdot \varepsilon_2 + 1,35 \cdot Q_k + 1,5 \cdot 0,6 \cdot Q_5 + 1,2 \cdot 0,6 \cdot \varepsilon_3 = 1,35 \cdot (-839-364) + (-53) + 1,20 \cdot (-141) + 1,35 \cdot (-1487) + 1,5 \cdot 0,6 \cdot (-73) + 1,2 \cdot 0,6 \cdot (-174) \approx -4045 \text{ kN}$$

$$\text{Spostamenti } s_x \approx \pm 70 \text{ mm}$$

$$\text{Spostamenti } s_y \approx \pm 10 \text{ mm}$$

Per quanto riguarda i giunti di dilatazione trasversali (da prevedere in corrispondenza delle spalle), si prescrivono giunti in gomma armata con capacità di dilatazione longitudinale superiore a ± 70 mm.

4.5.2 Appoggi relativi alle pile

▪ APPOGGIO FISSO

$$F_x = 1,00 \cdot E_x = \pm 5221 \text{ kN}$$

		Ponte sullo Stretto di Messina PROGETTO DEFINITIVO					
SCHEDA RIASSUNTIVA DI RINTRACCIABILITÀ DELL'OPERA		<i>Codice documento</i> CS0460_F0	<table border="1" style="width: 100%; border-collapse: collapse;"> <thead> <tr> <th style="text-align: left;"><i>Rev</i></th> <th style="text-align: left;"><i>Data</i></th> </tr> </thead> <tbody> <tr> <td style="text-align: center;">F0</td> <td style="text-align: center;">20/06/2011</td> </tr> </tbody> </table>	<i>Rev</i>	<i>Data</i>	F0	20/06/2011
<i>Rev</i>	<i>Data</i>						
F0	20/06/2011						

$$F_y = 1,00 \cdot E_Y = \pm 10443 \text{ kN}$$

$$F_z = 1,35 \cdot G_k + \varepsilon_1 + 1,20 \cdot \varepsilon_2 + 1,35 \cdot Q_k + 1,5 \cdot 0,6 \cdot Q_5 + 1,2 \cdot 0,6 \cdot \varepsilon_3 = 1,35 \cdot (-3387-1411) + (-204) + 1,20 \cdot (-55) + 1,35 \cdot (-3117) + 1,5 \cdot 0,6 \cdot (-274) + 1,2 \cdot 0,6 \cdot (-57) \approx - 11243 \text{ kN}$$

Spostamenti s_x e $s_y = 0 \text{ mm}$

▪ **APPOGGI UNIDIREZIONALI TRASVERSALI**

$$F_x = 1,00 \cdot E_x = \pm 5221 \text{ kN}$$

$$F_y = 0 \text{ kN}$$

$$F_z = 1,35 \cdot G_k + \varepsilon_1 + 1,20 \cdot \varepsilon_2 + 1,35 \cdot Q_k + 1,5 \cdot 0,6 \cdot Q_5 + 1,2 \cdot 0,6 \cdot \varepsilon_3 = 1,35 \cdot (-3387-1411) + (-204) + 1,20 \cdot (-55) + 1,35 \cdot (-3117) + 1,5 \cdot 0,6 \cdot (-274) + 1,2 \cdot 0,6 \cdot (-57) \approx - 11243 \text{ kN}$$

Spostamenti $s_x = 0 \text{ mm}$

Spostamenti $s_y \approx \pm 10 \text{ mm}$

▪ **APPOGGIO UNIDIREZIONALE LONGITUDINALE**

$$F_x = 0 \text{ kN}$$

$$F_y = 1,00 \cdot E_Y = \pm 5221 \text{ kN}$$

$$F_z = 1,35 \cdot G_k + \varepsilon_1 + 1,20 \cdot \varepsilon_2 + 1,35 \cdot Q_k + 1,5 \cdot 0,6 \cdot Q_5 + 1,2 \cdot 0,6 \cdot \varepsilon_3 = 1,35 \cdot (-3387-1411) + (-204) + 1,20 \cdot (-55) + 1,35 \cdot (-3117) + 1,5 \cdot 0,6 \cdot (-274) + 1,2 \cdot 0,6 \cdot (-57) \approx - 11243 \text{ kN}$$

Spostamenti $s_X \approx \pm 70 \text{ mm}$

Spostamenti $s_Y = 0 \text{ mm}$

▪ **APPOGGI MULTIDIREZIONALI**

$$F_x \text{ e } F_y = 0 \text{ kN}$$

$$F_z = 1,35 \cdot G_k + \varepsilon_1 + 1,20 \cdot \varepsilon_2 + 1,35 \cdot Q_k + 1,5 \cdot 0,6 \cdot Q_5 + 1,2 \cdot 0,6 \cdot \varepsilon_3 = 1,35 \cdot (-3387-1411) + (-204) + 1,20 \cdot (-55) + 1,35 \cdot (-3117) + 1,5 \cdot 0,6 \cdot (-274) + 1,2 \cdot 0,6 \cdot (-57) \approx - 11243 \text{ kN}$$

Spostamenti $s_x \approx \pm 70 \text{ mm}$

Spostamenti $s_y \approx \pm 10 \text{ mm}$

▪ **SHOCK TRASMITTERS SU PILA 1 e 3**

$$F_x = 1,00 \cdot E_x = \pm 10443 \text{ Kn}$$

Per poter trasmettere tale azione, per ogni pila devono essere posizionati 3 shock transmitters con capacità da 3500 kN ciascuno.

		Ponte sullo Stretto di Messina PROGETTO DEFINITIVO		
SCHEDA RIASSUNTIVA DI RINTRACCIABILITÀ DELL'OPERA		<i>Codice documento</i> CS0460_F0	<i>Rev</i> F0	<i>Data</i> 20/06/2011

Per la definizione dei collegamenti all'impalcato e alle pile, e per la definizione delle caratteristiche fisico-geometriche degli shock trasmitters, si rimanda a una fase successiva della progettazione.

5 FASI COSTRUTTIVE

La realizzazione dell'opera prevede le seguenti fasi principali di costruzione:

ESECUZIONI DI PRIMA FASE:

- sbancamento e preparazione del piano di posa del cls magro di sottofondazione
- getto del cls magro e realizzazione della soletta di fondazione successivamente al disarmo dei casseri;
- eseguire il riempimento dello scavo fino alla quota di estradosso della fondazione in c.a.

ESECUZIONI DI SECONDA FASE

- cassetatura delle elevazioni e getto delle parti in c.a. successivamente al disarmo dei casseri;
- eseguire il riempimento dello scavo fino alla quota di +50cm dall'estradosso della fondazione in c.a.;
- installazione degli apparecchi di appoggio;
- rimodellazione del terreno antistante la spalla allo scopo di ottenere un piano di lavoro a quota costante per lo stoccaggio delle travi

ESECUZIONI DI TERZA FASE

- assemblaggio degli elementi metallici costituenti l'impalcato;
- posizionamento della gru;
- varo dell'impalcato;
- sistemazione dei rilevati come da elaborato CG0700PPZDCSC00VID8000001F0